

МИНИСТЕРСТВО ГЕОЛОГИИ СССР  
НАУЧНО-ИССЛЕДОВАТЕЛЬСКИЙ ИНСТИТУТ  
ГЕОЛОГИИ АРКТИКИ

# ГЕОЛОГИЧЕСКАЯ КАРТА СССР

МАСШТАБА 1:200 000

СЕРИЯ КОРЯКСКАЯ

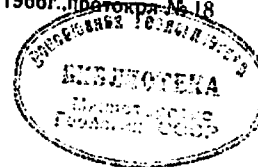
Лист Р-59-XXVI

## Объяснительная записка

Составитель *Н.В.Устинов*  
Редактор *Б.Х.Егиязаров*

Утверждено Научно-редакционным советом ВСЕГЕИ

12 апреля 1966 г. протокол № 18



МОСКВА 1972

СЛ 3253

## ВВЕДЕНИЕ

Территория листа Р-59-ХХУI занимает площадь 4010 км<sup>2</sup> с координатами 60°40' - 61°20' с.ш. и 169°00' - 170°00' в.д. и относится к Корякскому национальному округу Камчатской области РСФСР.

Район охватывает юго-западные отроги Пахачинского хребта, северо-восточное окончание Пылгинских гор, северную часть Нижне-Пахачинской депрессии и представляет собой низкогорье со сложенными и плоскими водоразделами. Отдельные вершины достигают высоты 1100-1300 м. Горные сооружения Пахачинского хребта, занимающие правобережье р.Майнлыгогрын и юго-восточную часть района, представляют платообразные водоразделы, вытянутые преимущественно с севера на юг. Слоны их крутые, обычно покрыты труднопроходимыми глыбовыми ополями. Часто встречаются ступенчатые обрывы высотой до 200 м. Над плоскими водоразделами выделяются отдельные куполовидные и конические вершины с абсолютными отметками от 403 до 1364 м. Самые высокие вершины сосредоточены в верховьях рек Атайнауяям, Бол.Гитканяу и Майнлыгогрын. Ответвление Пылгинских гор, называемое грядой Эмтетко, располагается на левобережье р.Майнлыгогрын. Гряда состоит из нескольких сложенных хребтов высотой 900-1000 м. Хребты вытянуты в северо-восточном направлении, имеют крутые расчлененные склоны, быстро выполняющиеся к подножию. Относительные превышения в пределах Пахачинского хребта и гряды Эмтетко достигают 600 м. Вдоль северного края гряды Эмтетко район пересекает депрессия долины р.Майнлыгогрын шириной от 4 до 12 км, с абсолютными высотами до 300 м. С юга отроги Пахачинского хребта и гряды Эмтетко окаймляются Нижне-Пахачинской депрессией, представляющей заболоченную плоскую равнину, над которой слабо возвышаются редкие сложенные холмы высотой от 20 до 500 м, относительные превышения от 10 до 140 м.

Главные реки района - Пахача и ее левый приток Майнлыгогор-

тын. Река Пахача, начинаясь в центральной части Корякского нагорья, пересекает район с севера на юг вдоль его западной границы и, собирая воды многочисленных притоков, впадает в Олюторский залив Берингова моря. Река течет почти на всем протяжении в крутых берегах высотой 15–35 м, сложенных коренными породами. Глубина реки 1,5–2,5 м, скорость течения – 0,8–1,5 м/сек. Ширина основного русла достигает 100 м, а поймы – 2 км. Русло реки на отдельных участках разбивается на многочисленные протоки, изобилует косами и перекатами. В засушливое лето на некоторых перекатах реку можно перейти вброд верхом на лошади. В половодье р.Пахача иногда затопляет пос.Верхняя Пахача, расположенный на двухметровой террасе. Река Майнылыгргын протекает в центральной части района с востока на запад. Ее русло углублено в дно долины на 10–25 м. Крутые береговые обрывы обычно склонены коренными породами. В верховьях река течет одним руслом глубиной до 1,5 м, часто меандрирует, имеет заболоченные берега и илистое дно. В среднем и нижнем течении встречаются перекаты и галечные косы. В летнее время на перекатах река проходила вброд. Ширина русла на всем протяжении реки составляет 10–20 м, глубина 0,5–1,5 м, скорость течения 0,8 м/сек. В среднем течении река принимает большое количество притоков, причем правые текут в меридиональном направлении, а левые – почти в широтном. При выходе из гор притоки на протяжении 2–3 км пропиливают узкие труднопроходимые каньоны высотой 20–40 м. В среднем течении некоторых левых притоков встречаются водопады высотой до 20 м.

Реки, протекающие в пределах депрессий, имеют разработанные явикообразные долины с обрывистыми берегами высотой 20–40 м. З горной части района речные долины отличаются узким  $U$ -образным профилем. Лишь р.Некювеем (левый приток р.Пахачи) почти на всем протяжении течет в каньоне. В устьях небольших водотоков иногда накапливаются довольно мощные конусы выносов. Для всех рек характерно очень слабое развитие аккумулятивных террас.

В половодье и после зетяных дождей уровень воды в реках поднимается на 1–1,5 м, увеличивается скорость течения, вода становится мутной.

Озера распространены преимущественно в северо-западной и южной частях района. Большинство из них ледникового происхождения. Площадь отдельных озер достигает 0,5 км<sup>2</sup>, а глубина редко превышает 3 м. Обычно озера имеют плоские заболоченные берега и каменистое дно. Небольшая группа озер расположена в поймах рек Пахачи и Майнылыгргын.

Климат района субарктический с продолжительной суворой зи-

мой и коротким прохладным летом. Заморозки начинаются в первой половине сентября, а снежный покров появляется в конце сентября – начале октября. Реки замерзают в последних числах октября – начале ноября. Зима снежная, с пургой и метелями. Самая низкая температура (минус 30–40°) бывает в январе и феврале. Обильное снеготаяние начинается в мае и заканчивается в июне, затягиваясь в отдельные годы до июля. В узких распадках снег зачастую сохраняется до самой осени. Реки вскрываются в конце мая, и весенний паводок длится до конца июня, иногда до середины июля. Летом погода переменчивая, часто дуют северные и восточные ветры. В отдельные годы бывает всего несколько ненастных дней, а в другие – до тридцати. Самая высокая температура (плюс 15–30°) наблюдалась в июле, а в сентябре обычно устанавливается прохладная солнечная вечерняя погода.

По характеру растительного покрова район относится к кустарниковой подзоне тундры и горной тундре. Вершины и склоны гор выше 700 м представляют собой голые с разреженным мохово- лишайниковым покровом. Ниже уровня 700 м склоны покрыты кедровым стлаником, карликовой бересой, иногда ольхой. В поймах рек Пахачи, Алуки и Майнылыгргын растут тополь, ива, ольха, реже рябина и береза. Отдельные деревья достигают в высоту 10 м, при диаметре стволов 10–15 см, редко 50 см. Заболоченные днища речных долин заросли мхами, травами, карликовой бересой и ивой.

Животный мир района представляют бурые медведи, росомахи, волки, лисы, зайцы, горностаи, белки, снежные бараны, суслики, торбаганы. Из пернатых встречаются белые куропатки, совы, сороки, орлы, вороньи, кедровки, ястребы, гуси, чайки, утки, кулики. По рекам Пахаче и Алуке из моря для нереста поднимается рыба лососевых пород. В озерах и реках водятся хариус, голец и форель.

На правом берегу р.Пахачи, в 4 км ниже устья р.Майнылыгргын располагается единственный в районе населенный пункт – пос.Верхняя Пахача. В нем проживают коряки, чукчи, ламуты, русские. В поселке насчитывается несколько десятков домов, имеется отделение связи, школа, клуб, магазин, больница, здесь же находится правление Пахачинского оленеводческого совхоза. Население занимается оленеводством, охотой, рыбным промыслом. На речной косе вблизи поселка оборудована посадочная площадка для самолетов АН-2, с помощью которых осуществляется регулярное воздушное сообщение между Верхней Пахачей и административным центром Олюторского района пос.Тиличики, расположенным в 180 км на юго-запад, а также поселками Ачайваем (75 км к востоку) и Усть-Пахача (55 км к югу). Пос.Усть-Пахача находится на берегу Олюторского зали-

ва вблизи устья р.Пахачи и является морским портом. Летом, в большую воду, для сообщения по реке между поселками Верхняя Пахача и Усть-Пахача используются мелкосидящие катера. Дорог нет, и лишь по левому берегу р.Пахачи район пересекает оленья тропа. Большинство рек района не судоходны. Только по Пахаче и Апуке можно плавать на лодках и батах, по р.Майнылыгыргын, в ее среднем и нижнем течении – на резиновых лодках. Почти вся территория района летом проходима для бездорожий "Газ-47" и вьючных лошадей. Зимой население передвигается на нартах, запряженных оленями или собаками.

Геологическое изучение района началось в 1952 г. Пахачинская группа партий Камчатского геологического управления (Кам.ГУ) под руководством В.А.Ярмоляка провела геологическую съемку побережья Олюторского залива, куда вошла и территория листа Р-59-ХХVI, в масштабе, близком 1:1 000 000. На рассматриваемой площади В.А.Ярмоляком выделены вулканогенно-осадочные отложения вывинской толщи позднеолигоценового-раннемиоценового возраста (мощность 2000-2500 м), согласно залегающие на них песчаниково-конгломератовые отложения пахачинской толщи миоценового возраста (мощность 1500-2000 м), кислые эфузивы толщи плиоценового возраста на мысе Крещенном Огнем, а также древнечетвертичные туфовые и лавовые образования двух вулканогенных комплексов, разделенных ледниками и водно-ледниками отложениями. Шлиховым опробованием аллювия речной сети установлено присутствие редких зерен золота и киновари. Отложения вывинской толщи В.А.Ярмоляк рассматривал как перспективные в отношении нефтепроизводства. Последующими работами описанная выше стратиграфическая схема была уточнена и несколько изменена. Ввиду того, что в составе вывинской толщи оказались разновозрастные отложения, от нее пришлось отказаться. Возраст пахачинской свиты впоследствии на основании находок фаунистических остатков был ограничен средним и верхним миоценом. Разделение древнечетвертичных вулканогенных отложений рыхлыми ледниками и водно-ледниками образованиями на два комплекса не подтвердилось.

В 1958 г. часть территории листа Р-59-ХХVI, расположенная вдоль р.Пахачи, была закартирована Пахачинской геологосъемочной партией Северо-Восточного геологического управления (СВГУ) в масштабе 1:500 000 (И.Ф.Мороз и Т.Ф.Мороз). Были выделены вулканогенно-кремнистые отложения ватинской свиты (мощность 3000 м), возраст которой, на основании находок фауны на сопредельных территориях, определяется в интервале от верхнего мела до эоцена включительно, а также терригенные образования ильинской свиты (мощ-

ность 2500 м) олигоцен-раннемиоценового возраста. В бассейне р.Майнтайвайам и на правом берегу р.Пахачи между этими отложениями отмечался тектонический контакт, а в районе г.Дальний Конус – согласные взаимоотношения. Прибрежно-морские отложения миоценового возраста И.Ф.Мороз и Т.Ф.Мороз объединили в пахачинскую свиту. Взаимоотношения ее с ильинской свитой остались невыясненными, но предполагалось несогласное залегание. Эффузивы и туфы, отнесенные к апукской свите (впервые выделена Г.А.Закржевским в 1956 г. в бассейне р.Апуквайам и относилась к ранне-среднечетвертичному времени), определялись как плиоцен-нижнечетвертичные. Среди отложений ватинской свиты И.Ф.Морозом установлены малые интрузии диоритов и гипабиссальные тела среднего и кислого состава. В нижнем течении р.Майнтылыгыргын был обнаружен выход пласти бурого угля мощностью 0,50 м. И.Ф.Мороз и Т.Ф.Мороз впервые отметили, что в составе вулканогенно-кремнистых отложений этого района присутствуют палеогеновые образования.

В 1959 г. Северо-Корякская аэромагнитная партия СВГУ (П.А.Майков, Б.М.Бронштейн, В.К.Иванов, Б.И.Чиков) произвела аэромагнитную съемку масштаба 1:200 000 северо-западной части территории листа.

В 1960 г. на левобережье р.Пахачи сотрудниками Корякской экспедиции Научно-исследовательского института геологии Арктики (НИИГА) Б.Х.Егиазаровым и Г.К.Пичугиной проводились тематические исследования, результаты которых отражены в объяснительной записке к листу Р-59 карты масштаба 1:1 000 000, составленной Б.Х.Егиазаровым (1961 г.), и в работе "Геология и полезные ископаемые восточной части Корякского нагорья", выполненной под руководством Б.Х.Егиазарова (Б.Х.Егиазаров, И.М.Русаков, О.П.Дундо, Л.И.Аникеева, Г.П.Кореньков, Ю.П.Дегтяренко, Е.Е.Белков, А.И.Трухалев, 1962 г.). В объяснительной записке вулканогенно-кремнистые породы левобережья р.Майнтылыгыргын и района г.Дальний Конус рассматривались как нижняя толща олигоцен-раннемиоценовой ильинской серии. Позднее (1962 г.) эти отложения на основании сходства вещественного состава были отнесены к ватинской свите сенонского возраста, а в олигоцен-раннемиоценовую ильинскую свиту объединены только терригенные породы. Взаимоотношения между свитами рассматривались как несогласные. Пахачинская свита, залегающая с угловым несогласием на ильинской, подразделялась на две подсвиты: нижнюю (средний миоцен) и верхнюю (верхний миоцен). Интрузивные породы левобережья р.Майнтылыгыргын и района г.Дальний Конус Б.Х.Егиазаровым, а затем Л.И.Аникеевой, были отнесены к неогеновому магматическому циклу.

В 1962 г. М.К.Косько (Корякская экспедиция НИИГА) после проведения геологосъемочных работ масштаба 1:200 000 в центральной части района предположительно к палеогену отнес вулканогенно-кремнистую и вулканогенную толщи, в состав которых впервые выделил лавы и туфы трахитового и трахиандезитового состава. Возраст ильпинской свиты, залегающей согласно на вулканогенной толще, был обоснован дополнительными находками фаунистических остатков. В пахачинской свите было выделено две подсвиты: нижняя – среднемиоценовая и верхняя – позднемиоценовая. Взаимоотношение ильпинской и пахачинской свит не наблюдалось. Горизонтально- и пологозалегающие туфы и лавы андезитов и базальтов М.К.Косько отнес к апукской свите ранне-среднечетвертичного возраста. Среди интрузивных проявлений были выделены палеогеновые силлы сиенито-диоритов и неогеновая субвулканическая интрузия гранит-порфиров. Шлиховым опробованием аллювия рек удалось установить единичные зерна киновари, золота и галенита.

После выполнения в том же 1962 г. геологосъемочных работ на правобережье р.Майнывыгоргын, а в 1963 г. в южной части района (Н.В.Устинов, Корякская экспедиция НИИГА) вся территория листа была закартирована в масштабе 1:200 000. В 1964 г. Н.В.Устиновым на отдельных участках на юге района, на правобережье рек Пахачи и Майнывыгоргын были проведены маршрутно-вязочные работы.

В 1963 г. Олюторская аэромагнитная партия (И.Б.Беляев, Л.И.Задорожко, Г.В.Введенская, Л.Н.Ребров) завершила аэромагнитную съемку территории листа в масштабе 1:200 000.

При составлении геологической карты листа Р-59-ХХVI, карты полезных ископаемых и объяснительной записки к ним использованы материалы геологических съемок масштаба 1:200 000, собранные Н.В.Устиновым, И.В.Губановым, М.М.Поляковым, В.В.Матвеевым (1962-1963 гг.), М.К.Косько, Н.С.Радченко, Н.А.Савельевым (1962 г.), Н.В.Устиновым (1964 г.). Частично использованы данные И.Ф.Мороза, Т.Ф.Мороза (1959 г.), Б.Х.Егиазарова и Г.К.Пичугиной (1960 г.), Б.Х.Егиазарова, Л.И.Аникеевой (1962 г.). Кроме того, учтены результаты геологических исследований по смежным территориям. В процессе геологосъемочных работ собраны многочисленные фаунистические и флористические остатки. Фауна моллюсков описана Л.В.Криштофович из Всесоюзного нефтяного научно-исследовательского геологоразведочного института (ВНИГРИ), радиолярии изучались во Всесоюзном геологическом институте (ВСГЕИ) А.И.Камойдой, а остатки рыб – П.Г.Данильченко в Палеонтологическом институте АН СССР (ПИН АН СССР), флора из неогеновых отложений определялась Т.Н.Байковской в Ботаническом институте АН СССР (БИН АН СССР), древесина –

И.А.Шилкиной (БИН АН СССР). Палинологические исследования образцов из кайнозойских образований проведены А.С.Монаховой (НИИГА). Спектральные и химические анализы выполнены в лабораториях НИИГА под руководством Р.С.Рубиновича и О.Н.Сошальской.

В настоящее время геологами Пензинской экспедиции Кам.ГУ закончена геологическая съемка масштаба 1:200 000 территории листов Р-59-ХХV и Р-59-ХХ, расположенных к западу и северу от листа Р-59-ХХVI. Южная и восточная границы листа Р-59-ХХVI являются открытыми.

Геологические съемки проводились с привлечением аэрофотоматериалов плохой и средней степени дешифрируемости.

## СТРАТИГРАФИЯ

На территории листа Р-59-ХХVI развиты осадочные и изверженные породы палеогенового, неогенового и четвертичного возраста. Наиболее широко распространены раннечетвертичные вулканогенные образования апукской свиты, занимающие почти 50% площади. Палеогеновые и неогеновые отложения, обнажающиеся в центральной части района, подразделены на вочвинскую (олигоцен?), ильпинскую (верхний олигоцен – нижний миоцен), пахачинскую (средний и верхний миоцен) и корфовскую (верхний миоцен-плиоцен) свиты, суммарной мощностью 8400 м. Верхнечетвертичные ледниковые и водно-ледниковые отложения, образующие маломощный чехол на северо-востоке и юге района, имеют ограниченное распространение. Современные осадки встречаются повсеместно.

### КАЙНОЗОЙ

#### ПАЛЕОГЕНОВАЯ СИСТЕМА

##### ОЛИГОЦЕН (?)

Вочвинская свита ( $Pg_3?vc$ ). Отложения вочвинской свиты распространены в центральной и юго-западной частях территории и представлены туфами и лавами трахитов, трахиандезитов и андезитов, яшмами, аргиллитами, глинистыми известняками. Стратотип свиты был описан в 1956 г. Ю.Г.Егоровым по руч.Вочвин, левому притоку р.Вызенки. Нижняя граница свиты в районе не вскрывается, а с вышележащими отложениями ильпинской свиты в верховьях р.Сенайвая, вблизи устья и в верховьях р.Чевынвыеем, а также на северо-восточных склонах г.Хачэхэнмин отмечался согласный контакт.

В центральной части в составе свиты преобладают пепловые и псаммитовые туфы трахитов и трахиандезитов, неравномерно переслаивающиеся между собой. В подчиненном количестве встречаются туфы андезитов. Максимальная мощность отложений вочвинской свиты наблюдалась на правобережье р.Майнтайваем. Здесь разрез свиты состоит в основном из пепловых, псаммитовых и реже псевфитовых туфов трахитов, трахиандезитов и андезитов, чередующихся в слоях по 0,01-1,0 м, реже до 7 м. В нижней части свиты среди туфов присутствуют темно-серые и зеленые яшмы и миндалекаменные андезиты. Яшмы переслаиваются с туфами (толщина слоев 0,05-2,5 м), иногда образуя слой мощностью до 10 м. Количество яшм незначительно, и они постепенно исчезают вверх по разрезу. Серо-зеленые и зеленые миндалекаменные андезиты встречаются в редких покровах мощностью от 2 до 20 м. В верхней части свиты присутствуют темно-серые глинистые известняки мощностью 200 м и покровы (5-50 м) коричневых и серых трахитов и трахиандезитов. Вместе с туфами покровы трахитов и трахиандезитов образуют пачку мощностью около 500 м. Трахиты и трахиандезиты обладают порфировой и гломеропорфировой структурами. Бкрапленники составляют 5-40% объема породы и представлены средним плагиоклазом (№ 35-37, редко № 46), моноклинным пироксеном, реже калиевым полевым шпатом, часто образуют гломеропорфировые сростки. Основная масса трахитов и трахиандезитов имеет вариолитовую и интерсергальную структуры, где вулканическое стекло полностью хлоритизировано. Мощность вочвинской свиты на правобережье р.Майнтайваем около 3000 м.

На других участках обнаруживаются только средние и верхние горизонты свиты, разрез которых описан в верховьях р.Чевыньвеем. Ее отличие от приведенного выше сводного разреза здесь яшмы образуют мощные пачки, которые по простирианию на юго-запад постепенно выклиниваются.

В верховьях р.Чевыньвеем, на юго-восточном крыле синклиналии, разрез средней и верхней частей вочвинской свиты характеризуется следующей последовательностью:

1. Темно-серые слоистые (0,05-0,5 м) яшмы с прослойками светло-серых, зеленых и реже сургучных яшм и линзами светло-серых кремней, с пластом (5 м) зеленых псаммитовых туфов андезитов . . . . . 215 м
2. Зеленовато-серые трахиты с плитчатой отдельностью . . . . . 4 "
3. Зеленые тонкослоистые яшмы . . . . . 10 "
4. Серо-зеленые трахиты . . . . . 20 "
5. Зеленые массивные яшмы . . . . . 2 "

6. Темно-серые, почти черные андезиты . . . . .	4 м
7. Зеленовато-серые и темно-серые слоистые (0,05-0,2 м) яшмы с линзами кремней и слоями (до 2 м) зеленых псаммитовых туфов андезитов. Темно-серые яшмы пронизаны прожилками белого кварца . . . . .	310-340"
8. Зеленые пепловые туфы трахитов, трахиандезитов и андезитов, переслаивающиеся (слои 0,05-0,1 м) с темно-зелеными псаммитовыми туфами. Радиолярии, найденные в пепловых туфах, А.И.Хамойда определил как <i>Porodiscus cf. ovoides</i> Lipman, <i>Ctenosphaera</i> (?) cf. <i>vivenkensis</i> Lipman, <i>Cenosphaera</i> sp., из которых <i>Ctenosphaera</i> (?) cf. <i>vivenkensis</i> Lipman характерна для вочвинского комплекса . . . . .	130 "
9. Темно- и светло-зеленые псаммитовые и псевфитовые туфы трахитов, трахиандезитов и андезитов в слоях до 4 м с редкими прослойками (0,5 м) темно-зеленых тонкотлитчатых пепловых туфов . . . . .	260 "
10. Коричневые трахиты . . . . .	10 "
II. Зеленые скорлуповатые пепловые туфы трахитов, трахиандезитов и андезитов, чередующиеся с псаммитовыми туфами слоями по 0,1-0,5 м . . . . .	170 "
12. Светло-зеленые миндалекаменные трахиты . . . . .	5 "
13. Темно-зеленые полосчатые яшмы в слоях по 0,05 м, чередующиеся с темно-серыми скорлуповатыми пепловыми и зелеными псаммитовыми туфами трахитов, трахиандезитов и андезитов (0,1-4,0 м). Среди яшм встречаются линзы светло-серых кремней . . . . .	190 "
14. Темно-серые скорлуповатые пепловые туфы и темно-зеленые псаммитовые, реже псевфитовые туфы трахитов, трахиандезитов и андезитов, неравномерно чередующиеся между собой. Псаммитовые и псевфитовые разности образуют слои мощностью от 1 до 5 м, часто выклинивающиеся по простирианию. Пепловые (слои по 0,2 м) и псаммитовые (по 0,01-0,1 м) туфы составляют пачки мощностью 6-10 м. В пепловых туфах встречаются редкие прослои (0,1-0,15 м) и линзы известковых конкреций . . . . .	370 "
15. Темно-серые скорлуповатые пепловые туфы трахитов, трахиандезитов и андезитов с линзами (до 0,05 м) темно-зеленых псаммитовых туфов. В породах встречаются известковистые конкреции, а в нижней части пачки - прослои (0,1 м) серых известняков. Конкреции имеют караваевобразную и линзовидную форму, их длина достигает 0,5 м, а мощность - 0,1-0,3 м. С поверхности конкреции яркого бурого цвета . . . . .	100 "

Мощность разреза 1800–1830 м.

По простирианию на юго-запад в составе свиты уменьшается количество яши, исчезают в верхней ее части известковистые конкреции, но появляются пачки аргиллитов и известняков, которые, возможно, замещают друг друга по простирианию. Сводный разрез, составленный в верховых р. Агваем, характеризуется следующей последовательностью:

1. Темно-серые и зеленовато-серые пепловые и серо-зеленые псаммитовые туфы трахитов, трахиандезитов и андезитов в слоях по 0,1–0,5 м, образующие пачки мощностью 2–3 м, разделенные пластами (2–3 м) темно-серых пепловых туфов . . . . .	15 м
2. Темно-серые скролуповатые пепловые туфы трахитов, трахиандезитов и андезитов с выклинивающимися малоносными прослойками серо-зеленых и зеленых псаммитовых и псевфитовых туфов . . . . .	20 "
3. Серо-зеленые массивные псаммитовые туфы трахитов, трахиандезитов и андезитов . . . . .	10 "
4. Темно-серые, буроватые пепловые туфы трахитов, трахиандезитов и андезитов, переслаивающиеся по 0,01–0,05 м с серо-зелеными псаммитовыми туфами . . . . .	130 "
5. Темно-серые аргиллиты с редкими прослойками серых известняков и известковистыми конкрециями . . . . .	150 "
6. Темно-серые, зеленоватые пепловые туфы трахитов, трахиандезитов и андезитов с прослойями (до 0,1 м) псаммитовых и псевфитовых туфов . . . . .	350 "
7. Пачка неравномерно переслаивающихся (от 0,1 до 3 м) серых пепловых, зеленых псаммитовых и редко псевфитовых туфов трахитов, трахиандезитов и андезитов. Иногда мощность слоев псаммитовых туфов достигает 7 м. Туфы имеют плитчатую и скролуповатую отдельность. По простирианию в составе пачки встречаются единичные малоносные прослои зеленых спекшихся туфов и серовато-зеленых кластолов . . . . .	750 "
8. Зеленые порфировые трахиты . . . . .	5 "
9. Зеленые пепловые туфы трахитов, трахиандезитов и андезитов, чередующиеся по 0,5–5 м с темно-зелеными псаммитовыми туфами . . . . .	40 "
10. Серо-зеленые трахиты . . . . .	5 "
II. Пачка неравномерно переслаивающихся пепловых и псаммитовых туфов трахитов, трахиандезитов и андезитов . . . . .	около 500 "

Мощность толщи 1975 м.

На юго-западе района сводный разрез вочвинской свиты составлен по субмеридиональным долинам ручьев между горами Дальний Конус и Хэчэхэнмин и отличается отсутствием туфов и лав трахитов и трахиандезитов. Свита подразделяется на три части: туфовую, яшмовую и пачку, состоящую из яши, туфов, известняков, песчаников. Разрез характеризуется следующим составом:

1. Темно-зеленые псевфитовые и реже агломератовые туфы андезитов с обломками размером 1–3 см и редко до 50 см в поперечнике и глыбовой отдельностью. Редкие прослой темно-серых пепловых туфов имеют мощность 2,5–4 м. В верхней части пачки залегает пласт (2 м) туфоконгломератов с гальками и валунами андезитов . . . . .	300–500 м
2. Темно-серые, серые и светло-серые полосчатые яши слоями по 0,05–0,2 м с линзами полосчатых кремней. В яшмах присутствуют остатки радиолярий: <i>Spongphaera cf. sphaerozoika</i> Zham., <i>Carposphaera</i> sp., <i>Thecosphaera votschvinensis</i> Lipman, <i>Cromyosphaera tschurini</i> Lipman, Cr. <i>vivenkensis</i> Lipman, характерные для вочвинского комплекса, и редкие неопределенные фораминиферы. По заключению А. И. Жамойда возраст этих отложений следует считать, скорее всего, палеоценовым . . . . .	500 "
3. Серые, буроватые кремнистые слоистые (0,2–0,5 м) псаммитовые туфы андезитов с линзами и слоями (до 2 м) зеленых яши . . . . .	30 "
4. Пачка неравномерно переслаивающихся серо-зеленых псаммитовых туфов андезитов (0,05–0,4 м) и серых известняков (0,05–0,1 м). В туфах встречаются неопределенные остатки радиолярий, а в известняках – возможно, фораминифер . . . . .	30 "
5. Серые кремнистые породы . . . . .	9 "
6. Светло-бурые псевфитовые туфы андезитов с редкими обломками темно-серых аргиллитов . . . . .	6 "
7. Серые известняки (0,1–0,2 м) с редкими прослойками (0,01–0,02 м) мелкозернистых песчаников . . . . .	10 "
8. Темно-серые слоистые (по 0,05–0,1 м) яши с малоносными прослойками бурых псаммитовых туфов андезитов (?) и редкими известковистыми конкрециями (1,0x0,2 м). В яшмах встречаются неопределенные остатки радиолярий . . . . .	20 "

9. Серые известняки, чередующиеся по 0,05-0,2 м с псамитовыми туфами андезитов. Прослои туфов часто выклиниваются . . . . .	20 м	
10. Темно-серые, зеленоватые пепловые туфы (0,5 м), переслаивающиеся с серо-зелеными псамитовыми и псевфитовыми туфами андезитов (0,3 м) . . . . .	20 "	700-900 м
II. Зеленые скролуповатые псамитовые туфы андезитов . . . . .	25 "	
I2. Темно-серые пепловые и зеленые псамитовые туфы андезитов, чередующиеся по 0,1-0,2 м . . . . .	10 "	
Мощность вочвинской свиты в юго-западной части района 980-1180 м. Общая мощность вочвинской свиты на территории листа составляет около 3000 м.		
Учитывая согласные взаимоотношения с отложениями ильпинской свиты, возраст вочвинской свиты принимается условно олигоценовым.		
ПАЛЕОГЕНОВАЯ - НЕОГЕНОВАЯ СИСТЕМЫ		
Верхний олигоцен - нижний миоцен		
Ильпинская свита ( $P_{E_3-N_1}$ ). Отложения ильпинской свиты распространены на левобережье р. Майнылыгорын, в верховьях р. Чевынвым и в бассейне р. Ганноваям. Свита представлена алевролитами, песчаниками, аргиллитами с редкими линзами и прослоями конгломератов и гравелитов. По всему разрезу свиты встречаются известковистые конкреции, обычно образующие прерывистые прослои. Для нижней части свиты характерно тонкое флишидное переслаивание песчаников, алевролитов и аргиллитов, среди которых изредка встречаются маломощные прослои туфов андезитов. Породы ильпинской свиты согласно залегают на туфах вочвинской свиты и несогласно перекрываются отложениями пахачинской свиты.		
Наиболее полный разрез свиты наблюдался в верховьях р. Сенайвай на юго-восточном крыле крупной синклинали, где обнажаются:		
I. Пачка серых и зеленовато-серых аргиллитов, ритмично переслаивающихся по 0,01-0,2 м с зелено-вато-серыми тонкослоистыми алевролитами и реже серыми мелкозернистыми песчаниками. В составе пачки встречаются многочисленные линзовидные (до 0,5x0,1 м) известковистые конкреции светло-серого, а с поверхности светло-бурового цвета. Количество конкреций по-		
степенно уменьшается вверх по разрезу. В нижней части пачки в 9 км на юго-запад наблюдались два пласта (4,0 и 3,5 м) светло-зеленых пепловых и псамитовых туфов андезитов . . . . .		700-900 м
2. Темно-серые скролуповатые алевритовые аргиллиты с рассеянными гальками яши, платигранитов и липаритовых порфиров, с редкими линзовидными (0,02-0,05 м) и шарообразными серыми известковистыми конкрециями. В конкрециях и аргиллитах встречаются в незначительном количестве остатки фауны: <i>Pododesmus</i> sp., <i>Ancistrolepis</i> sp., <i>Turris</i> sp., <i>Dentalium</i> sp., общий родовой состав которых и особенно присутствие <i>Turris</i> , по заключению Л.В.Криштофович, позволяет отнести их предположительно к верхнему олигоцену . . . . .		10 "
3. Серые мелкозернистые песчаники, неравномерно чередующиеся по 0,01-0,7 м с темно-серыми алевролитами. В средней части пачки присутствуют многочисленные шарообразные и чечевицеобразные известковистые конкреции, размером до 0,5x0,7 м . . . . .		70 "
4. Темно-серые скролуповатые алевролиты с редкими прослоями (до 0,1 м) песчаников и серыми известковистыми конкрециями . . . . .		325 "
5. Зеленовато-серые слоистые мелкозернистые песчаники с прослоями и линзами крупнозернистых песчаников, мелкогалечных конгломератов, темно-серых алевролитов и мелкими шарообразными (0,03-0,2 м в диаметре) известковистыми конкрециями . . . . .		200 "
6. Темно-серые скролуповатые алевролиты с редкими гальками и гравием темно-серых кварцевых порфиров, прослоями (0,1 м) известковистых мелкозернистых песчаников и известковистыми конкрециями . . . . .		50 "
7. Серые скролуповатые мелкозернистые песчаники с прослоями светло-серых плитчатых песчаников и известковистыми конкрециями. В песчаниках присутствуют редкие фаунистические остатки плохой сохранности . . . . .		100 "
8. Серые слоистые мелкозернистые песчаники с прослоями серо-зеленых грубозернистых песчаников, содержащих обломки темно-серых алевролитов. В песчаниках встречаются неопределимые остатки костей рыб и растительный дэтрит . . . . .		30 "
9. Гравийно-галечные конгломераты с линзами гру-		

Бобернистых песчаников и редкими мелкими валунами. Обломочный материал представлен яшмами, гранитами, гранит-порфирами, эфузивами кислого и среднего состава. В конгломератах встречается редкая фауна нижнего миоцена: <i>Modiolus matchgarensis</i> Mak., <i>Periploma cf. karibensis</i> L. Krisht . . . . .	5 м	
10. Серые мелкозернистые песчаники, чередующиеся по 0,1-0,2 м с темно-серыми алевролитами . . .	10 "	
II. Темно-серые скорлуповатые мелкозернистые песчаники с прослойками (0,2 м) светло-серых тонкоплитчатых известковистых песчаников и редкими известковистыми конкрециями. В песчаниках встречается фауна нижнего миоцена: <i>Nuculana</i> sp., <i>Malletia cf. korniana</i> L. Krisht., <i>Cardita cf. castor</i> Dall, <i>Turcicula sakhalinensis</i> Takeda, <i>Turritella</i> sp., <i>Trominina japonica</i> (Takeda) . . . . .	300 "	8
12. Темно-серые алевролиты с прослойками песчаников и шарообразными известковистыми конкрециями. Породы сильно нарушены. Ориентировочно их мощность .	300-500 "	
Общая мощность отложений 2100-2500 м.		
На юге района породы ильинской свиты слагают широкую синклинальную складку. Нижняя, ритмично слоистая часть свиты имеет резко сокращенную мощность и не охарактеризована фаунистическими остатками. Наиболее полный разрез свиты наблюдался на южном крыле синклиналии, по левым притокам р. Ганиновая, где на туфах вочвинской свиты согласно залегают:		
I. Темно-серые кремнистые аргиллиты с линзами и прослойками (до 0,5 м) зеленовато-серых мелкозернистых песчаников и редкими известковистыми конкрециями . .	40-50 м	
2. Темно-зеленые псевдо-псаммитовые кристаллитокластические туфы андезитов с линзами крепких известковистых туфов и прожилками светло-серого опала. Среди обломочного материала туфов присутствует незначительное количество обломков серых известняков . . . . .	3 "	
3. Серые скорлуповатые и тонкоплитчатые кремнистые аргиллиты, чередующиеся по 0,05-0,1 м с серыми мелкозернистыми песчаниками. Мощности отдельных прослоев песчаников достигают 1 м. В пачке встречаются шарообразные (до 0,1 м в диаметре) известковистые конкреции . . . . .	50 "	
4. Серые скорлуповатые песчанистые алевролиты		
с линзовидными прослойками (0,01-0,1 м) светло-серых разнозернистых известковистых песчаников и редкими темно-серыми известковистыми конкрециями . . . . .	20-50 м	
5. Серые скорлуповатые аргиллиты, чередующиеся по 0,05 м с выклинивающимися прослойками светло-серых мелкозернистых песчаников. В аргиллитах встречаются редкие линзы гравелитов и шарообразные известковистые конкреции . . . . .	40 "	
6. Серые плитчатые алевритовые песчаники (0,1-0,3 м) с редким растительным детритом, чередующиеся с зелеными тонколистоватыми пепловыми туфами (0,1-0,3 м), в которых содержатся редкие известковистые конкреции . . . . .	4 "	
7. Серые скорлуповатые и плитчатые мелкозернистые песчаники с линзами галечных конгломератов мощностью от 0,1 до 10 м. Гальки хорошо окатаны и представлены яшмами, песчаниками, алевролитами, кварцитами, эфузивами, редко щелочными аляскитами и аплитами. В песчаниках встречаются обугленные растительные остатки и фауна <i>Crassatellites</i> sp., предположительно относимая Л.В.Криштофович к нижнему миоцену . . . . .	56 "	
8. Серые скорлуповатые и тонкоплитчатые мелкозернистые песчаники с единичными прослойками (до 0,1 м) светло-серых песчаников и редкими фаунистическими остатками нижнего миоцена: <i>Acila</i> ( <i>Acila</i> ) <i>gettysburgensis</i> (Reag.) subsp. n., <i>Yoldia</i> ( <i>Portlandella</i> ) sp., <i>Lucinoma</i> cf. <i>columbiana</i> (Clark et Arnold). .	40 "	
9. Серые скорлуповатые мелкозернистые песчаники с гальками и гравием, редкими линзами (0,02-0,7 м) светло-серых и серо-зеленых песчаников, маломощными линзами гравелитов и цепочками известковистых конкреций. В песчаниках присутствуют остатки костей рыб и раковин моллюсков нижнего миоцена, представленных в нижней части пачки формами <i>Lucinoma</i> cf. <i>columbiana</i> (Clark et Arnold), <i>Macoma simizuensis</i> L. Krisht., <i>Laternula</i> ( <i>Aelga</i> ) <i>beashoensis</i> (Yok.), <i>Scaphander</i> sp., в средней части - <i>Nucula</i> cf. <i>yotsukurensis</i> Hirayana., <i>Acila</i> ( <i>Acila</i> ) <i>gettysburgensis</i> (Reag.) subsp. n., <i>Nuculana</i> ( <i>Borissia</i> ) sp. n., <i>N. (Sacella)</i> <i>bandasensis</i> L. Krisht., <i>Yoldia</i> ( <i>Yoldia</i> ) cf. <i>laudabilis</i> Yok., <i>Y. (Yoldia)</i> <i>caudata</i> Khom., <i>Malletia</i> cf. <i>korniana</i> L. Krisht., <i>Modiolus</i>		



*matchgarensis* Mak., *Liocyma furtiva* (Yok.) var. *nairoensis* L. Krisht., *Laternula* (*Aelga*) cf. *cormiana* L. Krisht., *Turcicula sakhalinensis* Takeda, *Trominina japonica* (Takeda), в верхней части - *Acila* (*Acila*) *gettysburgensis* (Reag.) subsp. n., *Nucula* (*Borissia*) sp. n., *Yoldia* (*Yoldia*) *caudata* Khom., *Liocyma furtiva* (Yok.), var. *nairoensis* L. Krisht., *Turritella poronaiensis* Takeda, *Psephaea olutorskienensis* L. Krisht . . . . . 500-700 м

10. Темно-серые алевролиты с шарообразными и эллипсоидальными известковистыми конкрециями. Последние обычно располагаются цепочками с интервалами между конкрециями 0,5-1,0 м, разделяя алевролиты на слои 2-10 м мощностью. В алевролитах и конкрециях встречаются редкие растительные остатки *Salix* (типа полярной *S. phlebophylla* Anderss.), *Salix* sp. (типа *S. polaris* Whlb., *S. arctica* Pall. и др.), *Dryas* sp., *Monocotyledones* sp. и фаунистические остатки: *Nuculana* (*Borissia*) sp., *Yoldia* (*Yoldia*) *caudata* Khom., *Malletia* cf. *poronaiica* Yok., *Modiolus* cf. *matchgarensis* Mak., *Tryasira smekhovi* Kogan var. *kriljoneensis* L. Krisht., *Solemya tokunagai* Yok., *Laternula* (*Aelga*) *besshoensis* (Yok.), *L. (Aelga) korniana* L. Krisht., *Margarites* sp., характерные для нижнего миоцена . . . . . 1300-1500 "

Общая мощность 2053-2493 м.

На левобережье р. Майныльвыгорын породы ильгинской свиты обнажаются в виде разрозненных выходов. В отличие от описанных выше разрезов в этом районе для верхней части свиты характерно преобладание слабых светло-серых алевролитов. Общая характеристика свиты представляется следующей.

В нижнем течении р. Чевыньвеем, в небольшой синклинали, согласно на туфах вочвинской свиты залегают алевролиты слоями по 1,5-5 м, содержащие известковистые конкреции и чередующиеся с прослойями (0,05-0,35 м) песчаников. В алевролитах М.К.Коско встречены остатки фауны *Turris tigilensis* L. Krisht., *Ancistrolepis shoraensis* Matzui, *Aforia* aff. *packardi* (Weev.), *Dentalium* sp., которые, по мнению Л.В.Криштофович, позволяют относить вмещающие их отложения к верхнему олигоцену.

Более высокие горизонты свиты обнажаются в среднем течении р. Чинайвеем и представлены пачкой чередования алевролитов (слои по 0,05-0,3 м) и песчаников (по 0,02-0,1 м). В этой пачке най-

дены редкие остатки фауны плохой сохранности: *Yoldia* aff. *etida* L. Krisht., *Dentalium* sp., *Turritellopsis* (?) sp., предположительно верхнеолигоценовые.

Верхние горизонты свиты наблюдались в коренных обрывках в нижнем течении рек Эгигимеем, Чинайвеем, Гиленвеем и представлены слабыми светло-серыми алевролитами и мелкозернистыми песчаниками. В отличие от алевролитов и песчаников нижней части разреза для них характерны светлая окраска и отсутствие ритмичного переслаивания. В песчаниках и алевролитах рассеяны хорошо окатанные гальки кремнистых пород и эфузивов, встречаются редкие прослои известковистых конкреций с многочисленными остатками рыб *Sebastodes* sp. В песчаниках, алевролитах и известковистых конкрециях верхней части ильгинской свиты собрана фауна *Acila* (*Acila*) cf. *praedivaricata* Nagao et Huzioka, *Yoldia angusta* L. Krisht., *Y. nitida* Slod., *Modiolus matchgarensis* Mak., *Periploma karibensis* L. Krisht., *Laternula* (*Aelga*) *besshoensis* Yok., *Turritella* cf. *tokunagai* Yok., *Trominina japonica* (Takeda), *Psephaea antiquior* Takeda., *P. olutorskienensis* L. Krisht., указывающая на нижнемиоценовый возраст этих отложений.

Мощность ильгинской свиты на левом берегу р. Майныльвыгорын 2000-2500 м. Мощность ильгинской свиты на территории листа Р-59-XXVI составляет 2000-2500 м. Позднеолигоценовый - раннемиоценовый возраст свиты определяется на основании находок фаунистических остатков. По заключению Л.В.Криштофович, все виды встреченного в районе малочисленного верхнеолигоценового комплекса фауны известны в верхнеолигоценовых отложениях западной Камчатки, Японии, северо-западной Америки. Нижнемиоценовый фаунистический комплекс является опорным для нижнего миоцена северо-западной части Тихоокеанской области и состоит из видов, широко известных в нижнемиоценовых отложениях Камчатки, Сахалина, Японии и на п-ове Ильинском и особенно близок к фауне из синхронных отложений Сахалина и Хоккайдо (аракайская и мачигарская свиты, нижняя подсвита холмской свиты, свиты поронайская и момидзияма).

#### НЕОГЕНОВАЯ СИСТЕМА

##### Средний и верхний миоцен

Пахачинская свита (Н.Л.). Отложения свиты обнажаются по долине р. Майныльвыгорын, в районе среднего течения р. Пахачи и в верховьях р. Мал. Агваем и представлены песчаниками, алевролитами, гравелитами, конгломератами, бурыми углами.

Гравелиты и конгломераты в основном приурочены к верхней части свиты, где появляются также линзы и прослои бурого угля. По разрезу свиты неравномерно распределены шарообразные и эллипсоидальные известковистые конкреции. Отложения пахачинской свиты с угловым несогласием залегают на породах вочвинской свиты. Взаимоотношения с ильпинской свитой не наблюдались. Учитывая, что на сопредельных территориях (А.Г.Злотник-Хоткевич, 1961 г., Б.Х.Егiazаров, В.П.Ли, 1963 г.) установлены согласные взаимоотношения ильпинской и пахачинской свит, вероятно, несогласие на территории листа Р-59-ХХVI имеет локальный характер.

Нижние горизонты свиты наблюдались М.К.Косько по левому притоку р.Бол.Эмтеткониваям, где желтовато-серые конгломераты (0,5-2,0 м) и песчаники пахачинской свиты залегают на неровной размытой поверхности туфов и трахитов вочвинской свиты. Обломочный материал имеет разную степень окатанности и представлен яшмами, трахитами, туфами вочвинской свиты и палеогеновыми сиенито-диоритами. В конгломератах встречается обильная битая ракушка, среди которой присутствуют остатки *Laevicardium pakhatschense* L. Krisht. и *Macoma cf. simizuensis* L.Krisht., характерные для среднего миоцена. Мощность 5 м.

Выше залегают зеленовато-серые скорлуповатые средне- и мелкозернистые песчаники с рассеянными гальками черных алевролитов и прослоями (0,2 м) гравелитов и алевролитов. В песчаниках встречается фауна среднего миоцена: *Malletia inermis* (Yok.), *Cardita orientalis* L.Krisht., *Laevicardium pakhatschense* L. Krisht., *Clinocardium cf. eteringtoni* Kogan, *Thyasira aff. smekhovi* Kogan, *Liocyma furtiva* (Yok.), *Macoma simizuensis* L. Krisht., *M. aff. astori* Dall, *Laternula (Aelga) besshoensis* (Yok.), *Mya aff. arenaria* L. Polinices sp., *Turritella* sp., *Fusinus* sp., *Echinarachnius* sp. Мощность около 200 м.

Завершают неполный разрез свиты по р.Бол.Эмтеткониваям зеленовато-серые тонкоплитчатые среднезернистые песчаники, переслаивающиеся по 0,1-0,7 м с серыми массивными мелкозернистыми песчаниками, и черные алевролиты с прослоями (0,1-0,2 м) мелкозернистых песчаников. В алевролитах встречаются известковистые конкреции с фауной *Thyasira aff. smekhovi* Kogan, *Cardita* sp., *Ancistrolepis* sp. В средней части пачки присутствуют единичные прослои (0,15 м) ракушняков, сложенные остатками *Malletia inermis* (Yok.), по заключению Л.В.Криштофович, одного из руководящих видов среднего миоцена восточной Камчатки и Сахалина. Мощность разреза 805 м.

Более полный сводный разрез пахачинской свиты (за исключе-

нием ее нижних горизонтов) был составлен по обнажениям в среднем течении рек Агвайя и Мал.Агвайя и имеет следующее строение:

1. Темно-серые и серые скорлуповатые мелкозернистые песчаники с гравием и редкими гальками, прослоями (0,05-1,0 м) серых и зеленовато-серых сильно известковистых песчаников и известковистыми конкрециями. В песчаниках встречаются очень характерные пирамидальные образования белого кальцита и многочисленные фаунистические остатки, которые представлены формами: в нижней части - *Yoldia (Yoldia) cf. chojensis* Sim., *Cardita djakovi* L.Krisht., *Cardita* sp. (похожая на *C.korfensis* L.Krisht.), *Laevicardium pakhatschense* L.Krisht., *Liocyma apukensis* L. Krisht., *Macoma cf. simizuensis* L.Krisht., *Panope pleschakovi* Sim., *Mya cf. profundior* Grant et Gale, *M. cf. sertunayensis* Laut., *M. cf. mainatschensis* Ilyina, *M. cf. apukensis* Ilyina, *Laternula (Aelga) besshoensis* (Yok.), *Polinices galianoi* Dall, *Turritella olutorskienensis* L. Krisht., в средней части - *Thyasira aff. smekhovi* Kogan, *Clinocardium decoratum* Grew., *Nemocardium* sp., *Liocyma apukensis* L. Krisht., *Macoma simizuensis* L. Krisht., *M. ex gr. calcarea* Chem., *Mya aff. apukensis* Ilyina, *M. cf. truncata* L., *M. cf. sertunayensis* Laut., *Periploma aff. koriboeensis* L.Krisht., *Laternula (Aelga) besshoensis* (Yok.). *Turritella olutorskienensis* L. Krisht., в верхней части - *Yoldia (Portlandella)* sp., *Clinocardium aff. ciliatum* (Fabr.), *Macoma aff. nasuta* (Conrad), *M. ex gr. calcarea* Chem., *Mya cf. karaginskensis* Khark., *Laternula (Aelga) besshoensis* (Yok.), *Rsephaea aff. fujimotoi* Kanno, позволяющими, по мнению Л.В.Криштофович, отнести эти отложения к среднему миоцену . . . . . 800 м

2. Серые слабо сцепментированные мелкозернистые глинистые песчаники с известковистыми конкрециями, в которых присутствуют фаунистические остатки *Clinocardium aff. ciliatum* (Fabr.), *Macoma aff. nasuta* (Conrad), *Panope pleschakovi* (Sim.), *Mya karaginskensis* Khark., *Polinices galianoi* Dall, условно отнесенные Л.В.Криштофович к верхнему миоцену . . . . . 200 "

3. Светло-бурые мелкозернистые гравелитистые песчаники с прослоями (0,05 м) гравелитов и мелкими шарообразными известковистыми конкрециями. В песчаниках собраны фаунистические остатки: *Mytilus aff. ficus* Dall, *Car-*

dita uvutschense L. Krisht., Taras olutorskiensis L. Krisht., Laevicardium cf. pakhatschense L. Krisht., Macoma aff. astori Kall, M. cf. andersoni Clark, Pa- nope pleschakovi (Sim.), Mya karaginskensis Khark., Tracia kavranensis Ilyina. . . . .	80 м
4. Серые мелко- и среднезернистые песчаники с угле- фицированным растительным детритом, гравием, гальками и валунами (прослойми до 2,5 м) и линзами гравелитов. Ва- луны и гальки хорошо окатаны и представлены яшмами, порфиритами, реже песчаниками, известняками, трахитами, диоритами. В песчаниках содержатся шарообразные извест- ковистые конкреции и фаунистические остатки <i>Yoldia</i> ( <i>Yoldia</i> ) <i>pakhatschensis</i> L. Krisht., <i>Mytilus ohotensis</i> <i>Slod.</i> , <i>Laevicardium cf. pakhatschense</i> L. Krisht., <i>Macoma</i> <i>aff. astori</i> Dall, <i>Panope penjinskensis</i> Ilyina, <i>Turritella</i> <i>ochotensis</i> Laut., <i>T.boraensis</i> Laut. Присутствие вида <i>Mytilus ohotensis</i> Slod., позволяет считать воз- раст вмещающих отложений, скорее всего, позднемиоценовым .	160 "
5. Бурые и серые мелкозернистые песчаники с гра- вием, галькой и мелкими валунами, с многочисленными линзами гравелитов и шарообразными известковистыми конкрециями. В песчаниках встречаются фаунистические остатки: <i>Laevicardium pakhatschense</i> L. Krisht., <i>My- tilus ohotensis</i> Slod., <i>Macoma aff. astori</i> Dall, <i>Po- linices galianoi</i> Dall, <i>Turritella boraensis</i> Laut . . .	40 "
6. Темно-серые скрепленные алевритистые песча- ники, содержащие шарообразные и эллипсоидальные извест- ковистые конкреции, которые иногда образуют прерывистые слои . . . . .	200 "
7. Темно-серые и зеленовато-серые мелкозернистые песчаники с линзами и прослойми гравелитов. Темно-серые песчаники имеют скрепленную отдельность, а зеленово- то-серые - тонкоплитчатую. Редкие прослои известковистых песчаников достигают мощности 5-8 м. В песчаниках присутствуют остатки фауны: <i>Nuculana aff. tatarica</i> <i>Kogan</i> , <i>Yoldia (Cnesterium) cf. sakhalinensis</i> Slod., <i>Laevicardium pakhatschense</i> L. Krisht., <i>Liocyma fluc- tuosa</i> (Gould), <i>Macoma optiva</i> (Yok.) <i>Spisula polynuma</i> <i>Stimp.</i> , <i>Polinices galianoi</i> Dall . . . . .	350 "
8. Зеленовато-серые мелко- и крупнозернистые песча- ники с редкими углефицированными растительными остатками плохой сохранности и слоями (до 1 м) известковистых пес- чаников, реже гравелитов. В верхней части пачки гра- велиты образуют двадцатиметровый слой. В песчаниках встречаются фаунистические сстатки, количество ко- торых убывает вверх по разрезу. Среди них присутст- вуют: <i>Mytilus ohotensis</i> Slod., <i>Taras (Felaniella)</i> <i>olutorskiensis</i> L. Krisht., <i>Tellina aragonia</i> Dall, <i>Macoma aff. astori</i> Dall, <i>M. andersoni</i> Clark, <i>Spisula</i> <i>falcata brionina</i> Trask., <i>S. onnechiuria</i> (Otuka) . . . .	180 м

Общая мощность 2010 м. Мощность пахачинской свиты на юге района определяется в 2400 м на основании сопоставления приведенных выше разрезов.

В долине р. Майнылыгортин пахачинская свита характеризуется преобладанием алевролитов в нижней ее части и конгломератов в верхней, а также очень неравномерным распределением остатков фауны. Сводный разрез свиты имеет следующее строение:

1. Серые мелкозернистые песчаники с растительным детритом . . . . . 100-200м

2. Серые песчанистые алевролиты с редкими, иногда выклинивающимися прослойми (0,1-0,5 м) темно-серых известковистых песчаников. В алевролитах беспорядочно рассеяны шарообразные и овальные известковистые конкреции, иногда образующие цепочки, располагаясь с интервалами 1-3 м. В алевролитах и песчаниках встречаются рассеянные гальки и гравий яшмы и порфиритов. По всей толще алевролитов распределены остатки фауны, характерные для среднего миоцена: в нижней части - *Yoldia aff. longissima* Slod., *Malletia inermis* (Yok.), *Modiolus olutosskiensis* L. Krisht., *Cardita djakovi* L. Krisht., *Laternula (Aelga) besshoensis* (Yok.), в средней части - *Acila (Acila) vigilia* Schenck var. *elongata* Nagao et Huzioka, *Yoldia nitida* Slod., *Y. aff. longissima* Slod., *Y. aff. chojensis* Sim., *Y. cf. pilvoensis* Slod., *Y. (Yoldia) ex gr. caudata* Khom., *Malletia inermis* (Yok.), *Modiolus olutosskiensis* L. Krisht., *M. cf. matchgarensis* Mak., *Crassatellites* sp., *Cardita djakovi* L. Krisht., *Laevicardium pakhatschense* L. Krisht., *Mytilus cf. edulis* L., *Liocyma fluctuosa* (Gould), *Macoma aff. astori* Dall, *Mya truncata* L., *Panope pleschakovi* Sim., *Laternula (Aelga) besshoensis* (Yok.), *Ancistrolepis cf. om-  
betsuensis* Matsui, *Polinices galianoi* Dall, *Turritella olutorskiensis* L. Krisht., *Colus* sp., *Neptunea* sp., в верхней части - *Acila (Acila) sp.*, . . . . . 1200 "

3. Буроватые мелковзернистые песчаники с маломощными прослойками темно-серых известковистых песчаников, содержащих фаунистические остатки: *Nuculana* (*Nuculana*) *slodkewitschi* Kogan, *Laevicardium pakhatschense* L. Krisht., *Clinocardium cf. ciliatum* (Fabr.), *Ct. brooksi* Mac Neil, *Liocyma fluctuosa* (Gould), *Tellina aff. oragonia* Dall, *Macoma aff. astori* Dall, *Spisula "grauana* Shr.", *Mya truncata* L. Krisht., *Laternula (Aelga) sakhalinensis* Slod., *Polinices galianoi* Dall, *Scaphander oregonensis* Dall., позволяющие, по мнению Л.В.Криштофович, относить вмещающие отложения к верхнему миоцену . . . . . 200 м

4. Бурые гравелиты, мелкогалечные конгломераты и глинистые среднезернистые песчаники в пачках по 20-100 м с редкими прослойками известковистых песчаников и гравелитов, растительными остатками плохой сохранности и шарообразными известковистыми конкрециями. Обломочный материал в гравелитах и конгломератах представлен яшмами и порфиритами. В верхней части толщи присутствуют обломки углефицированной древесины и линзы (до 0,5 м) бурых углей . . . . . 600-800"

Мощность пахачинской свиты в долине р.Майнылыгортин 2100-2400 м. Эти значения принимаются для характеристики мощности свиты на всей территории листа.

Присутствие в комплексе фауны нижней части свиты одного из руководящих видов среднего миоцена восточной Камчатки и Сахалина *Malletia inermis* (Yok.), по мнению Л.В.Криштофович, позволяет считать ее среднемиоценовой. Предположительно к среднему миоцену Л.В.Криштофович относит и слои с *Thyasira aff. smekhovi* Kogan, встреченные по р.Агваем, ввиду присутствия местного руководящего среднемиоценового вида *Cardita djakovi* L. Krisht., а также *Rverhaea aff. fujimotoi* Kanno, близкого к виду из среднемиоценовых отложений Японии. Комплекс фауны из верхней части свиты характеризуется преобладанием видов, впервые появляющихся в верхнем миоцене Камчатки, Сахалина и Америки. Поэтому возраст пахачинской свиты определяется как средне- и позднемиоценовый.

#### Верхний миоцен - плиоцен

Корфовская свита (№1). Отложения свиты обнажаются в верховьях р.Мал.Агваем, в районе нижнего течения р.Бол.Гитканяу и в верховьях р.Майнылыгортин. Каждый из этих выходов характеризуется определенным комплексом пород и ископаемых органических остатков, а также различной мощностью отложений.

В составе корфовской свиты присутствуют конгломераты, гравелиты, песчаники, аргиллиты, бурые угли, туфы кислого и среднего состава. Породы корфовской свиты несогласно залегают на отложениях пахачинской свиты и перекрыты с угловым несогласием образованиями апукской свиты.

Наиболее полный разрез терригенных отложений свиты наблюдался в верховьях р.Мал.Агваем:

1. Бурые галечные, валунные и гравийно-галечные иногда косо-слоистые конгломераты с обугленными растительными остатками, линзами и прослойками песчаников и гравелитов. Валуны достигают 25, реже 80 см в попечнике. Обломочный материал представлен трахитами, туфами трахитов, трахиандезитов и андезитов, известняками, яшмами, сиенито-диоритами . . . . . 150-200 м

2. Бурые слабо сцепментированные мелковзернистые песчаники, переполненные раковинами моллюсков, среди которых встречаются *Pitar cf. kavramensis* Slod., *P. cf. gretschischikini* Slod. и редко *Cardita cf. crebricostata* Krause . . . . . I "

3. Темно-серые слабые песчаные аргиллиты с углефицированными растительными остатками и линзой (0,2 м) бурых углей, а также раковинами *Cardita* sp., *Laevicardium* sp., *Pitar* sp. в нижней части пачки . . . . . 50-100 "

4. Темно-серые и бурые плохо сортированные горизонтально- и косослоистые валунные и галечные конгломераты с линзами аргиллитов и песчаников, обломками углефицированной и минерализованной древесины. Гальки и валуны плохо окатаны. Размеры галек достигают 5, а валунов - 15, редко 50 см в попечнике. Состав обломочного материала такой же, как в пачке I . . . . . около 200 "

Общая мощность отложений свиты 500 м.

По мнению Л.В.Криштофович, теплолюбивый питариевый комплекс фауны, состоящий из видов, известных в этолонской свите Камчатки и в верхнемаруянской подсвите Сахалина, дает основание относить эти отложения к нижнему или среднему плиоцену.

В небольшом выходе на правом берегу р.Бол.Гитканяу обнажается пачка бурых слабо сцепментированных косослоистых конгломератов, гравелитов и песчаников с редкими валунами и серыми глинисто-кремнистыми конкрециями. В конгломератах встречаются прослойки (до 0,01 м) аргиллитов, переполненных растительным детритом, отпечатками листьев и стеблей, а также обломки слабо углефицированных древесных стволов (до 25 см в диаметре) ярко оранжевого цвета.

та. В нижней части пачки наблюдалась линза (0,5 м) бурых углей. Обломочный материал в конгломератах окатан в различной степени и представлен яшмами, порфиритами, реже гранитами. В верхней части пачки, в песчаниках, присутствуют линзовидные прослои (1-2 см) белого витрокластического псаммитового туфа кислого состава. Видимая мощность пачки 20 м. Из аргиллитов и туфов выделен спорово-пыльцевой комплекс, который, по заключению А.С.Монаховой, указывает на плиоценовый возраст вмещающих его отложений.

В верховьях р.Майнылыгорын отложения, относимые к корфовской свите, представлены чередованием туфов кислого и среднего состава:

1. Светло-серые пепловые туфы андезитов (?) с мелким растительным детритом и многочисленными миндалинами, выполненными белыми цеолитами . . . . . I м

2. Белые слоистые плитчатые алевритовые пепловые туфы с растительным детритом, редкими линзами (2 см) бурых углей и слабо углефицированными коричневыми обломками древесины длиной до 1 м. По мнению И.А.Шилкиной, древесина (*Picea* sp.?), по всей вероятности, указывает на третичный возраст отложений. Из образцов туфов А.С.Монаховой выделен спорово-пыльцевой комплекс, в котором основную массу форм составляет переотложенная пыльца *Coniferales* раннемелового-юрского возраста, а остальные формы тяготеют к третичным комплексам. Типичной третичной флорой являются *Tsuga canadensis* и *Tsuga diversifolia*. Среди немногочисленных спор были встречены 3 микроспоры папоротников молодого облика, обычно относимые к четвертичным спектрам. В шлифах туфов наблюдались четвертичные диатомовые водоросли - *Pinularia*, *Tetracyclus* и др. . . . . 3 "

3. Бурые, коричневатые косослоистые туфы кислого состава с редкими ярко-бурыми известковистыми конкрециями . . . . . 3 "

4. Серые полосчатые тонкоплитчатые псаммо-алевритовые туфы кислого состава с обломками слабо углефицированной древесины коричневого цвета. Древесные остатки относятся к роду *Pinus* типа *Pinus silvestris*. По мнению И.А.Шилкиной, возраст отложений, заключающих эти остатки, не древнее миоцена и не моложе плиоцена . . . . . 2 "

5. Светло-серые алевритовые и псаммитовые туфы кислого состава с обломками темно-серого стекла, боль-

шим количеством растительного детрита и редкими прослойками коричневых пепловых туфов. В псаммитовых туфах найдены отпечатки листовой флоры и хвои *Abies* sp., *Salix* sp.?, *Alnus corallina* Sesq., *Alnus* sp. (шишки). По заключению Т.Н.Байковской, вид *Alnus corallina* Sesq. установлен в миоценовых и плиоценовых отложениях Северной Америки . . . . . 3 "

6. Светло-серые псефитовые туфы с отдельными глыбами темно-серых пористых андезитов и линзами ярко-бурых псаммитовых туфов. В верхней части пачки наблюдалась линза (0,5 м) конгломератов, состоящих из различно окатанных обломков белых биотитовых дацитов . . . . . 5 "

7. Темно-серые агломератовые туфы андезитов с линзовидными прослойками косослоистых псаммитовых и алевритовых туфов и редкими известковистыми конкрециями . . . . . 20 "

Мощность разреза 40 м.

Таким образом, фаунистические и флористические остатки позволяют предположить, что вмещающие их отложения формировались, скорее всего, в плиоценовое время, что, учитывая фрагментарность изученных разрезов, не противоречит верхнемиоцен-плиоценовому возрасту корфовской свиты, принятому в сводной легенде Корякской серии листов.

#### ЧЕТВЕРТИЧНАЯ СИСТЕМА

##### Нижнечетвертичные отложения

**Алукская свита.** Отложения свиты слагают обширные поля в северной и юго-восточной частях района, залегая с угловым несогласием на всех более древних породах, и перекрываются верхнечетвертичными ледниками и водно-ледниками отложениями. Алукская свита подразделяется на две подсвиты: нижнюю - преимущественно туфовую и верхнюю - существенно лавовую.

Нижняя подсвита (Q<sub>1</sub> a.p.). Отложения подсвиты на севере района обнажаются, главным образом, по долинам ручьев, а в его юго-восточной части слагают обширный горный массив. Преобладающими породами являются туфы и агломератовые лавы андезитов, андезито-базальтов и базальтов. В меньшем количестве присутствуют лавы андезитов, андезито-базальтов, базальтов и оливиновых базальтов, туфоконгломераты. В основании подсвиты иногда наблюдались линзы (1-20 м) валуно-галечных конгломератов (южный склон горы Майн-Аичганай, нижнее течение р.Мал.Агваем), обломочный ма-

териал в которых представлен яшмами, порфиритами, сиенито-диоритами, туфами трахитов и трахиандезитов с незначительной примесью пирокластического материала.

На левобережье среднего течения р.Велькининеем на песчаниках пахачинской свиты несогласно залегают темно-серые, грубослоистые агломератовые туфы андезитов и базальтов. Пирокластический материал в них представлен пористыми, реже массивными, разностями андезитов и базальтов темно-серого, желтого и кирпичного цвета. Обломки имеют округлую и угловатую форму - 0,05-0,1 м, иногда 0,5-1 м в поперечнике. В туфах встречаются редкие прослои туфоконгломератов, состоящих из округлых обломков тех же андезитов и базальтов. Туфы слабо сцеплены мелкообломочным пирокластическим материалом, легко разрушаются. Мощность подсвиты 200-250 м.

В верховьях р.Велькининеем и р.Бол.Гитканяу среди туфов появляются покровы (2-10 м) темно-серых андезито-базальтов и красных агломератовых лав, и разрез подсвиты в верховьях р.Бол.Гитканяу имеет следующее строение:

1. Серые агломеративные туфы андезитов . . . . .	20 м
2. Кирпично-красные агломератовые лавы андезитов. .	10 "
3. Темно-серые и красно-бурые агломератовые туфы андезитов . . . . .	15 "
4. Темно-серые крапчатые из-за многочисленных мелких (<1 мм) вкраплеников плагиоклаза, андезиты . .	25 "
5. Серые слоистые псаммитовые туфы андезитов. Слоистость подчеркивается псефитовым и алевритовым материалом . . . . .	25 "
6. Темно-серые мелкокристаллические базальты . . .	20 "
7. Кирпично-красные агломератовые лавы андезитов с пачкой (5 м) черных слоистых (по 5 см) псефитовых и псаммитовых туфов андезитов . . . . .	60 "
Общая мощность	165 м.

По долинам рек Бол.Гитканяу и Мал.Гитканяу в составе подсвиты преобладают черные афанитовые и мелкокристаллические оливиновые базальты и темно-серые мелкопорфировые андезито-базальты. Мощность подсвиты здесь уменьшается до 40 м.

На западе района, на правобережье р.Нейинеем, отмечается увеличение мощности подсвиты до 500 м, а в ее составе преобладают темно-серые мелкопорфировые андезито-базальты, залегающие в виде лавовых потоков. Темно-серые агломератовые туфы и кирпично-красные агломератовые лавы андезито-базальтового состава присутствуют только в нижней части разреза.

На юго-востоке района наиболее полный разрез подсвиты наблюдался в верховьях р.Мал.Агвайм. На мелкогалечных конгломератах корфовской свиты несогласно залегают:

1. Темно-серые и желтые агломератовые туфы смешанного состава, с редкими выклинивающимися потоками (3-4 м) массивных и пористых андезито-базальтов. Размеры обломков в туфах колеблются от 0,1 до 0,5 м, редко до 1,5 м . .	140 м
2. Темно-серые мелкопорфировые андезито-базальты . . .	30 "
3. Желтые агломератовые туфы смешанного состава . . .	20 "
4. Серые пористые базальты, чередующиеся через 10 м со светло-серыми псаммитовыми туфами смешанного состава. .	50 "
5. Буро-красные и желто-серые агломератовые туфы смешанного состава с редкими покровами (10 м) серых афанитовых андезитов . . . . .	130 "
6. Коричневые пористые базальты . . . . .	40 "
7. Темно-серые, зеленоватые андезиты с гломеропорфировой структурой . . . . .	50 "
8. Зеленовато-серые массивные порфировые андезиты . .	20 "
9. Темно-серые андезиты с гломеропорфировой структурой . . . . .	20 "
Мощность разреза	500 м.

В 3 км к югу подсвита состоит из покровов и потоков темно-серых и серых базальтов и мелкопорфировых андезито-базальтов мощностью от 5 до 50 м. Мощность подсвиты 400 м.

На правобережье верхнего течения р.Бол.Ольховая для состава подсвиты характерно преобладание плохо отсортированных темно-серых агломератовых и псефитовых туфов смешанного состава, среди которых встречаются редкие потоки базальтов, андезито-базальтов и андезитов. Мощность подсвиты 300 м.

В нижнем течении рек Мал.Агвайм и Бол.Ольховая видимая мощность туфов уменьшается до 20 м, и среди них появляются прослои валунных туфоконгломератов, состоящих из округлых обломков базальтов и андезитов до 1 м в поперечнике, сцепленных мелкообломочным пирокластическим материалом.

На северо-восток от верховьев р.Мал.Агвайм в составе подсвиты увеличивается количество лав, а на правобережье среднего течения р.Ильмаяу появляются светло-серые агломератовые туфы роговообманковых андезитов.

В верховьях рек Атайнауяям и Сенайяям подсвита состоит из кирпично-красных и коричневых пористых порфировых базальтов и андезито-базальтов, которые чередуются с потоками стекловатых серых и темно-серых порфировых базальтов и андезито-базальтов.

Мощность подсвиты составляет 300–400 м.

Мощность нижней подсвиты на территории листа изменяется от 40 до 500 м.

Верхняя подсвита ( $Q_1$  ар<sub>2</sub>). Породы верхней подсвиты развиты преимущественно на севере и в меньшей степени на юго-востоке района, бронируя горизонтальные и пологие (5–15°) наклонные платообразные поверхности. В составе подсвиты оливиновые базальты, базальты, андезиты, андезито-базальты, реже туфы базальтов. Состав и мощность подсвиты очень изменчивы.

Наиболее полный разрез подсвиты наблюдался в верховьях р.Бол.Гитканяу. На западном склоне обнажаются:

I. Светло-серые полосчатые афанитовые андезито-	
базальты . . . . .	80 м
2. Желтые псевдитовые туфы базальтов . . . . .	5 "
3. Темно-серые крупнопорфировые андезиты с глыбовой отдельностью . . . . .	30 "
4. Серые андезито-базальты с гемеропорфировой структурой . . . . .	30 "
5. Желтые псевдитовые туфы с обломками черных пористых базальтов . . . . .	2 "
6. Серые пористые порфировые андезиты . . . . .	20 "
7. Светло-серые мелкопорфировые оливиновые базальты . . . . .	60 "
8. Серые афанитовые андезиты . . . . .	20 "
9. Серые афанитовые базальты . . . . .	20 "
10. Кирпично-красные агломератовые лавы андезито-базальтов . . . . .	40 "
II. Темно-серые порфировые андезиты . . . . .	20 "
12. Серые и розовые пористые крупнопорфировые андезиты . . . . .	85 "

Мощность разреза 412 м.

На правобережье р.Майнылыгогрын мощность подсвиты уменьшается до 40–100 м, и в ее составе представлены почти исключительно светло-серые мелкопорфировые оливиновые базальты. Лишь на отдельных участках встречаются серые андезиты и андезито-базальты.

Частые и значительные изменения в мощности и составе подсвиты наблюдались на правобережье р.Бол.Гитканяу. У северной границы территории листа подсвита состоит из серых и светло-серых андезитов и андезито-базальтов, слагающих покровы мощностью 20–50 м. Мощность подсвиты здесь 225 м.

В 4 км к югу подсвита представлена преимущественно серыми оливиновыми базальтами и редкими покровами андезитов и андезито-

базальтов. Мощность ее уменьшается до 145 м.

К западу от водораздела рек Бол.Гитканяу и Нуюкуюл подсвита состоит из светло-серых андезитов с гемеропорфировой структурой и серых афанитовых полосчатых андезитов.

На юго-востоке района, на левобережье среднего течения левого истока р.Бол.Ольховая, подсвита имеет следующее строение:

1. Серые афанитовые базальты . . . . .	25 м
2. Серые и светло-серые андезиты с гемеропорфировой структурой . . . . .	85 "
3. Зелено-серые андезито-базальты . . . . .	40 "
4. Серые андезиты . . . . .	30 "
5. Серые мелкокристаллические оливиновые базальты.	80 "

Общая мощность 260 м.

В составе подсвиты на юго-востоке района появляются единичные покровы роговообманковых андезитов, достигающие максимальной мощности на левобережье р.Илкываям, где наблюдался следующий разрез:

1. Серые массивные роговообманковые андезиты, участками шлаковидные. В нижней части потока андезиты черного цвета, стекловатые . . . . .	10 м
2. Светло-серые роговообманковые андезиты с плитчатой и крупноглыбовой отдельностью. Глыбы достигают 5 м в поперечнике . . . . .	200 "
3. Светло-серые андезиты . . . . .	40 "
Общая мощность 250 м.	

Мощность верхней подсвиты изменяется в различных частях района от 0 до 500 м.

Возраст образований апукской свиты определяется как ранне-четвертичный, так как они с угловым несогласием залегают на плиоценовых отложениях кордовской свиты. Возможно, что часть образований апукской свиты сформировалась в среднечетвертичное время. Палеомагнитные исследования ориентированных образцов пород нижней и верхней подсвит апукской свиты, развитых на юго-востоке района, показали, что вектор остаточной намагниченности в большинстве из них имеет нормальную полярность, что тоже, скорее всего, указывает на ранне-четвертичный возраст этих отложений.

#### Верхне-четвертичные отложения

Верхне-четвертичные отложения ( $Q_{III}^2$ ) представлены ледниково-водно-ледниково-озерно-ледниково-образованиями, на-копление которых связано с долинным – корякским (по Ю.П.Дегтя-

ренко) оледенением. Ледниковые отложения слагают морены по долинам рек в северной части района. Водно-ледниковые образования развиты в южной части территории листа и частично по долинам рек Майнылыгрын и Пахача.

Ледниковые образования состоят из серых валунных глин, серых и желто-бурых суглинков и супесей с многочисленными валунами и гальками. Валуны имеют 20-40, редко 150 см в поперечнике. Среди них встречаются обломки эффузивов, туфов, порфиритов, яшм, песчаников. Примесь обломочного материала достигает 30-50% от объема породы. Наибольшая мощность (около 32 м) ледниковых отложений наблюдалась в среднем течении р.Бол.Гитканяу. На других участках она составляет 10-20 м.

Водно-ледниковые образования представлены плохо сортированными грубослоистыми валунно-галечными отложениями, сцепленными серыми супесями и суглинками, с редкими маломощными линзами супесей, песков и гравия. Валуны имеют 10-30 см, а гальки 1-10 см в поперечнике. Состав их довольно пестрый, так как среди них встречаются как обломки местных пород, так и развитых на смежных территориях. Максимальная мощность этих отложений была установлена в долинах рек Майнылыгрын и Алуки и составляет 20 м.

На водоразделах вдоль р.Майнылыгрын, а также в юго-восточной части района отмечались редкие эратические валуны и гальки, оставленные, вероятно, ставшим ледником.

Озерно-ледниковые образования (на карте они не выделены из состава ледниковых отложений) были встречены в виде небольшого выхода (10x10 м) в долине р.Ваювайы, представлены серыми ленточными глинами в слоях по 5-10 см, содержащими прослой льда. Видимая мощность глин 3 м.

Возраст ледниковых и водоно-ледниковых отложений принимается позднечетвертичным на основании сопоставления их с аналогичными образованиями, развитыми по долинам рек Алукувайы и Ачайвайы, на склоне которых связывают с верхнечетвертичным оледенением.

#### Современные отложения

Современные отложения ( $Q_{IV}$ ) представлены аллювиальными, делювиально-пролювиальными, элювиально-делювиальными и обвально-глыбовыми образованиями.

Аллювиальные образования развиты по долинам крупных рек и ручьев. Это песчано-галечные и валунно-галечные отложения, слагающие пойменные и редкие надпойменные

террасы. Мощность аллювия надпойменных террас не превышает 5 м. Пойменные террасы встречаются почти повсеместно по рекам и ручьям, за исключением крутых порожистых водотоков. Аллювий пойм в верховьях рек представлен валунниками в смеси с галечниками и грубозернистыми песками. Ниже по течению возрастает роль галечников и гравия, обломочный материал становится более окатанным. Косы по долинам крупных рек сложены галькой, гравием и песком. Петрографический состав обломочного материала очень пестрый и соответствует породам, развитым в районе. Мощность аллювиальных отложений пойм 1-2 м.

Делювиальные - пролювиальные отложения слагают конусы выноса мелких водотоков. В долине р.Бол.Гитканяу наблюдался наиболее полный разрез этих отложений. Они состоят из грубослоистых гравийно-галечных и валунных образований, сцепленных глинисто-песчаным материалом, с линзами песка. По мере приближения к склону в их разрезе увеличивается роль грубообломочного неокатанного и плохо окатанного материала, представленного глыбами, щебнем и дресвой. Мощность этих образований достигает 12 м.

Элювиальные - делювиальные образования распространены повсеместно на водоразделах и склонах гор, покрывающих их маломощным плащом. Эти отложения представлены дресвой, щебнем и глыбами. Мощность их вблизи подножья склонов достигает 5 м. Характер этих образований находится в тесной связи с составом пород, слагающих горные массивы. Глыбовые делювиальные осадки особенно широко развиты на устойчивых к выветриванию эффузивных породах апукской свиты. При этом размеры глыб достигают 5 м в поперечнике.

Элювий в виде щебня и глыб распространен на сглаженных водораздельных гребнях и лавовых платообразных поверхностях.

Обвально-глыбовые образования присутствуют только в верховьях р.Атейнауваиы и в верховьях левого истока р.Чевынвыеем. Скопления крупных (до 15 м в поперечнике) глыб туфов и эффузивов апукской свиты вытянуты вдоль речного русла на 3-6 км при ширине до 400 м.

#### ИНТРУЗИВНЫЕ ОБРАЗОВАНИЯ

В пределах рассматриваемой территории интрузивный магматизм интенсивно проявился в палеогеновое и раннечетвертичное время. Значительно слабее он выразился в неогеновый период. По времени образования выделяются: палеогеновые интрузии, миоценовые интру-

зии, четвертичные субвулканические тела и дайки.

## ПАЛЕОГЕНОВЫЕ ИНТРУЗИИ

Интузии распространены в центральной части района, обнаруживаясь в верховьях рек Чевыньицем, Агвайи, Мал. Эмтетконкынаваи, а также по р. Пахаче только среди отложений вочвинской свиты, и лишь в верховьях р. Чевыньицем одно тело приурочено к нижним горизонтам ильпинской свиты. Это пластовые тела (силлы), залегающие согласно и субсогласно с вмещающими отложениями и участвующие вместе с ними в складчатых структурах. Преобладающее простирание силлов, как и вмещающих пород, СВ 40-80°. Залегают силлы с наклоном от 20 до 70° и имеют мощность от 10 до 250 м. Силлы прослеживаются на значительные расстояния, иногда до 13 км. Некоторые из них по простиранию разветвляются. В рельфе силлы выделяются в виде гребней и уступов, характеризуются глыбовой и плитчатой, реже столбчатой отдельностью. Контакты силлов ровные, либо волнистые. В редких случаях отмечались секущие апофизы. Силлы сложены интрузивными породами, среди которых присутствуют разновидности от сиенитов до диоритов, связанные взаимопереходами, встречаются монцониты. Преобладающими являются сиенито-диориты, поэтому на геологической карте силлы имеют индекс сиенито-диоритов.

Сиенито-диориты ( $\xi\delta Pg$ ) - зеленовато-серые, коричневые, мелко- и среднезернистые массивные породы гипидиоморф-нозернистой, призматически-зернистой, иногда порфировидной структуры. Состав сиенито-диоритов: средний и основной плагиоклаз ( $\# 32-55$ ) - 40-75%, калиевый полевой шпат - 10-30%, пироксены (диопсид-геденбергит и гиперстен) - 10-15%, обыкновенная роговая обманка - 0-5%, кварц - 0-6% (в кварцодержащих разновидностях до 10%), микролегматит - 0-5%, акцессорные минералы (магнетит, апатит, редко циркон, сфен) - 1-5%, вторичные минералы (амфибол, биотит, хлорит, иддингсит, альбит, серицит, пренит, кальцит) - до 3%. В порфировидных разновидностях вкрапленники (20-75%) представлены средним и основным плагиоклазом и реже пироксеном.

В значительно меньшем количестве в силлах установлены диориты, сиениты, кварцевые сиениты, монцониты.

Диориты отличаются от сиенито-диоритов несколько большим (до 25%) содержанием темноцветных минералов. Количество калиевого полевого шата в них обычно менее 10%.

Сиениты и кварцевые сиениты зеленовато-серые и коричневые породы, обладающие гипидиоморфнозернистой структурой, состоят из среднего плагиоклаза ( $\# 35-40$ ) - 20-35%, микроклина - 35-65%, амфибала - 3-7%, моноклинного пироксена - 1-3%, кварца - 0-7%, микролегматита - 0-2%, магнетита - 2-3%, апатита - 0-1%, вторичных минералов (хлорит, биотит) - 2-5%.

Монцониты серо-зеленого цвета, имеют гипидиоморфнозернистую, близкую к монцонитовой, структуру и состоят из основного плагиоклаза ( $\# 57-70$ ) - 30-50%, калиевого полевого шата - 20-35%, моноклинного пироксена - 20-30%, биотита и амфибала - 2-5%, кварца - 0-5%, магнетита - 2-3%, апатита - 1-2%, вторичных минералов (хлорит, пренит) - в незначительных количествах.

Во всех описанных выше разновидностях плагиоклаз почти всегда серицитизирован, сосудоритизирован и альбитизирован. Калиевый полевой шпат встречается в таблитчатых кристаллах, нередко нарастает на плагиоклазе, частично пелитизирован и альбитизирован. В основном, это микроклин ( $Ng-I, 526 \pm 0,002$ ,  $Np-I, 519 \pm 0,002$ ,  $Ng-Np - 0,006$ ,  $2v - (60-80^\circ)$ ), иногда санидина ( $2v - 0^\circ$ ). Пироксены свежие, а роговая обманка частично замещена хлоритом или иддингситом. Кварц наблюдался в ксеноморфных зернах.

Эндоконтактовая фация силлов представлена серыми с коричневатым оттенком трахитами и трахиандезитами. Ширина закаленной зоны 5-20 см. Трахиты и трахиандезиты имеют олигофировую структуру. Основная масса их хлоритизирована, характеризуется сферолитовой структурой и состоит из радиально-лучистых агрегатов хлорит-калишпатового (?) или хлорит-альбитового (?) состава. По мере удаления от контакта силлов увеличивается количество и размер вкрапленников плагиоклаза, а основная масса становится поликристаллической. Мощность зоны с порфировой структурой обычно составляет 0,5-1 м, с порфировидной - 0,5-4 м. Центральные части силлов сложены мелко- и среднезернистыми поликристаллическими породами. Переходы между этими разновидностями постепенные. Порфировые и порфировидные разновидности иногда слагают маломощные силлы. Экзоконтактовое воздействие интузий выразилось в некотором осветлении вмещающих аргиллитов и туфов. Иногда последние пронизаны тонкими прожилками гидроокислов железа, хлорита, кальцита либо нацело замещены агрегатом из кварца, цеолита и эпидота. В редких случаях на контакте с силлами вмещающие породы интенсивно рассланцовываны и окислены. Мощность зон экзоконтактовых изменений 0,2-0,8 м.

Химические анализы шести образцов пород из различных частей силлов (см. таблицу) свидетельствуют о довольно широком диапазоне

№ об- раз- ца	Порода и место загара	Содержание, %														
		SiO <sub>2</sub>	TiO <sub>2</sub>	Al <sub>2</sub> O <sub>3</sub>	Fe <sub>2</sub> O <sub>3</sub>	РеO	MgO	CaO	K <sub>2</sub> O	Na <sub>2</sub> O	P <sub>2</sub> O <sub>5</sub>	П.п.п.	Σ	H <sub>2</sub> O пд 105- 110°	CO <sub>2</sub>	
1	2	3	4	5	6	7	8	9	10	II	12	13	14	15	16	17
Палеогеновые интрузии																
1	Сланцово-диорит,	51,79	0,84	18,54	4,96	3,23	0,16	3,61	8,13	2,14	3,50	0,16	3,44	100,50	0,30	-
2	Кварцевый сиен- верховье р. Се- найки	55,16	1,27	15,25	5,95	4,22	0,20	3,38	6,17	2,80	3,50	0,25	2,30	100,45	0,64	-
3	Кварцевый сиен- нат, р. Мал.Ар- заны	60,04	0,76	16,17	3,02	4,39	0,13	1,81	3,10	4,80	4,50	0,26	1,29	100,27	0,34	-
4	Сланц., р. Тек- левец	53,64	1,05	16,00	4,37	5,46	0,23	3,86	5,27	2,72	4,76	0,57	1,65	99,58	1,57	-
5	Монцонит, р. Тек- левец	55,81	0,97	16,35	3,37	5,85	0,21	2,40	4,79	3,41	4,94	0,39	1,89	100,38	0,90	-
6	Сланц., р. Тек- левец	64,37	0,62	15,69	2,45	2,76	0,14	0,76	1,73	5,60	5,43	0,07	0,44	100,06	0,62	-
7	Трахит, среднее р.Че- вяникоево	62,42	0,61	15,90	5,98											
8	Трахит, среднее р.Че- вяникоево	64,57	0,68	15,61	3,21	1,07	0,14	0,93	2,03	5,93	5,18	0,34	0,65	100,34	0,39	-

Продолжение таблицы

1	2	3	4	5	6	7	8	9	10	II	12	13	14	15	16	17
9	Трахиландезит, верховье р.Чевяникоево	60,50	0,78	16,67	4,57	1,29	0,21	1,25	3,99	1,44	7,23	0,34	1,79	100,56	0,46	-
10	Гранат-порфир, верховье р.Пи- ленево	74,74	0,04	14,20	0,70											
11	Гранодорлит-тор- фор, г.Хачеки- ни	65,23	0,36	15,56	2,72	0,18	0,06	2,79	2,52	2,74	5,17	0,04	2,32	99,69	0,72	1,25
12	Дапит, верховье р.Илгатай	69,02	0,40	16,44	2,52	0,25	0,06	0,65	2,43	2,26	5,89	0,08	0,15	100,15	0,48	-
13	Кварцевый дюорит, верховье р.Чевяникоево	61,89	0,65	17,44	3,93	1,24	0,12	2,33	5,16	1,68	5,22	0,07	0,86	100,59	0,50	-
14	Роговообманковый андезит, зап. склон выс.985 м	62,75	0,73	16,06	4,63	1,52	0,09	2,19	5,50	1,87	3,89	0,16	0,47	99,86	0,50	-
15	Анделлит, р.Нер- шевем	57,23	1,31	17,13	4,31	3,69	0,14	3,51	7,39	1,06	3,89	0,21	0,19	100,06	0,40	-
16	Анделлит, "	61,06	0,91	16,07	2,77	3,54	0,07	3,67	6,26	1,52	3,64	0,16	0,26	99,87	0,29	-
17	Анделлит, "	58,81	0,97	17,38	2,79	3,84	0,11	3,72	6,99	1,16	3,66	0,16	0,37	99,96	0,70	-
18	Анделлит, "	59,43	0,70	16,22	2,09	3,97	0,09	5,41	7,48	0,94	3,01	0,12	0,37	99,83	0,23	-
19	Анделито-базальт, верховье р.Бал. Гиткану	55,69	1,37	17,44	4,17	3,85	0,13	3,58	8,33	0,88	3,67	0,18	0,72	100,01	0,79	-
20	Оливиновый ба- зальт, верховье р.Бал.Гиткану	50,29	1,77	16,13	5,16	7,08	0,18	8,15	8,43	0,71	3,36	0,18	0,39	99,83	0,27	-

## Числовые характеристики по А.Н.Завариникову

Продолжение таблицы

№- пра- га	a	c	b	s	e'	f'	c'	π'	n	t	φ	Q	a:c
I	2	3	4	5	6	7	8	9	10	II	12	13	I4
1	11,4	7,5	17,3	63,8	-	44,9	17,3	37,7	71,7	1,1	25,4	-2,7	1,5
2	12,0	4,4	18,5	65,1	-	51,0	17,7	31,3	65,1	1,6	27,9	+1,8	2,7
3	17,0	2,4	II,3	69,3	-	61,0	12,0	27,0	59,0	0,9	23,0	+2,2	7,1
4	14,7	35,0	19,0	62,8	-	49,4	35,0	15,7	72,6	1,5	20,4	-7,3	4,2
5	16,1	3,1	15,7	65,1	-	56,0	26,0	18,0	69,0	1,3	18,5	-5,1	5,2
6	19,7	0,5	7,8	72,0	-	63,1	16,4	20,5	59,8	0,7	27,6	+4,1	39,4
7	19,4	1,1	7,2	72,3	-	76,9	16,3	6,8	63,1	0,8	75,0	+4,7	17,6
8	19,7	0,4	7,4	72,5	-	51,3	20,7	28,0	57,1	0,8	36,1	+5,2	49,3
9	17,9	2,2	II,0	68,9	-	48,8	27,2	24,0	88,6	1,0	35,8	+9,7	8,1
10	13,7	1,9	1,8	82,6	51,8	29,6	-	18,6	72,8	0,1	29,6	+35,9	7,2
11	15,4	2,7	7,6	74,3	-	33,9	4,5	61,6	74,3	0,4	30,3	+15,1	5,7
12	15,9	2,9	3,7	77,5	3,6	67,3	-	29,1	80,5	0,4	58,2	+20,3	5,5
13	14,0	4,7	10,1	71,2	-	44,9	16,3	38,8	82,3	0,8	32,6	+9,7	3,0
14	II,1	5,2	10,8	72,6	-	50,6	14,6	34,8	75,9	0,8	36,7	+17,2	2,1
15	10,4	6,4	16,0	67,2	-	45,0	17,0	37,0	84,0	1,6	23,3	+7,2	1,6
16	10,1	5,7	15,1	69,1	-	41,8	13,9	44,2	78,9	1,0	16,9	+12,4	1,7
17	9,9	6,9	14,2	68,9	-	43,0	12,2	45,0	77,4	1,3	16,6	+11,1	1,4
18	8,1	6,9	16,9	68,1	-	33,0	12,9	54,0	82,9	0,9	10,4	+13,1	1,1

## Продолжение таблицы

I	2	3	4	5	6	7	8	9	10	II	12	13	I4
19	9,8	7,1	16,9	66,2	-	44,0	19,5	37,0	85,5	1,7	21,7	+5,7	1,4
20	8,3	6,6	26,8	58,3	-	36,0	13,4	50,5	88,4	2,3	10,2	-6,5	1,2

Причина 6. Химические анализы выполнены аналитиками НИИГА: А.Г.Финогеновой (образцы 4,5,6,7,8,9),

А.З.Шипунлер (образцы 10,14,15,16,17,18,19,20), Л.Г.Сиринковой и Г.Л.Гринберг (образцы I,2,3,II,12,13).

их состава. Результаты анализов и петрографических исследований позволяют заметить некоторую закономерность в распределении разновидностей пород в силлах, заключающуюся в том, что к центральным частям их тяготеют сиениты, тогда как ближе к kontaktам последние постепенно сменяются сиенито-диоритами. В этом же направлении уменьшается содержание в породах кремнекислоты.

Силлы сиенито-диоритов приурочены почти исключительно к отложениям вочвинской свиты и вместе с ними участвовали в складчатых движениях. Единичные силлы установлены среди позднеолигоценовых пород, но отсутствуют среди раннемиоценовых, а уже в конгломератах из основания пахачинской свиты были найдены гальки сиенито-диоритов. Таким образом, их возраст не может быть моложе раннего миоцена. Отметивая пространственную приуроченность сиенито-диоритов к отложениям вочвинской свиты, близость химического и минерального составов сиенито-диоритов, трахитов и трахиандезитов вочвинской свиты (см. таблицу), присутствие подобных трахитов в эндоконтактовой зоне силлов сиенито-диоритов позволили М.К.Косько и Н.С.Радченко (1965 г.) объединить эти образования в единую трахиандезит-сиенито-диоритовую магматическую формацию палеогенового возраста.

### МИОЦЕНОВЫЕ ИНТРУЗИИ

Интузии сложены гранит-порфирами и гранодиорит-порфирами.

Гранит-порфирь ( $\text{TPN}_1$ ) образуют интузию в верховьях р. Гиленвейм. Интузия располагается на крыле антиклинальной складки и прорывает отложения вочвинской и ильпинской свит, а перекрывается вулканогенными образованиями апукской свиты. В плане интузия имеет почти изометричную форму. Размеры ее  $5 \times 3,2$  км. В пределах интузии наблюдались останцы кровли, размерами до  $1,2 \times 0,5$  км, сложенные туфами вочвинской свиты и палеогеновыми сиенито-диоритами. Контакты интузии крутие и вертикальные. Для гранит-порфиров характерна тонколистовая отдельность, ориентированная параллельно контакту.

Гранит-порфирь - светло-серые порфировые массивные и слабопористые породы с микрогипидиоморфнозернистой основной массой. Вкрапленники представлены олигоклазом (# 30) - 10-15%, кварцем - 0,6% и биотитом 0-1%. Основная масса сложена полевыми шпатами - 70-75% и кварцем 25-30%. Из акцессорных минералов встречаются единичные зерна циркона и магнетита. Плагиоклаз во вкрапленниках имеет правильные кристаллографические контуры, свежий, иногда слабо серицитизированный. Кварц встречается в округлых корродиро-

ванных зернах. Биотит слабо хлоритизирован. Калиевый полевой шпат присутствует совместно с плагиоклазом в основной массе в виде мельчайших зерен. Микролиты плагиоклаза в основной массе представлены олигоклазом (# 15). В непосредственном эндоконтакте гранит-порфирь приобретают флюидальную текстуру и характеризуются фельзитовой структурой основной массы. Иногда отмечались ксенолиты вмещающих пород. Экзоконтактовое воздействие гранит-порфиров проявилось слабо и в основном выражалось в ороговиковании вмещающих туфов. Ширина экзоконтактовой зоны 1-2 см. Иногда в туфах наблюдались тонкие прожилки цеолита и альбита.

Данные химического анализа (см.таблицу) гранит-порфиров указывают на их близость к риолитам по Р.Дэли.

Гранодиорит-порфирь ( $\text{TPN}_1$ ) слагают небольшие тела на юго-западе района. Интузии приурочены к крылу синклинальной складки, располагаются цепочкой северо-восточного простирания вдоль границы отложений вочвинской и ильпинской свит и имеют с ними активный контакт. В рельфе интузии выделяются в виде отдельных куполовидных вершин (горы Дальний Конус и Хэчэхэнъмин) с крутыми склонами. В плане интузии имеют почти изометричную форму. Размеры их от  $0,5 \times 0,5$  до  $1,8 \times 1,2$  км. Пластовые трещины глыбовой и плитчатой отдельности ориентированы параллельно kontaktам интузий: круто на склонах и полого в кровле. Гранодиорит-порфирь - светло-серые, серые, иногда темно-серые порфировые и олигопировые породы эфузивного облика с афанитовой основной массой и массивной или флюидальной текстурой. Во вкрапленниках присутствуют: средний плагиоклаз (# 36-39) - 2-10%, биотит - 0-3%, роговая обманка - 0-7%. Вкрапленники чаще всего ориентированы субпараллельно. Основная масса гранодиорит-порфиров характеризуется микроаллотриоморфнозернистой, близкой к микрогипидиоморфнозернистой, реже микропойкилитовой, структурой и состоит из мелких (обычно около 0,1 мм) зерен кварца, плагиоклаза и калиевого полевого шпата, иногда с незначительной примесью роговой обманки и магнетита. При микроскопическом изучении без анализатора обнаруживается, что основная масса имеет вид буроватой аморфной массы с флюидальной текстурой, изредка с округлыми трещинками, напоминающими перлитовые.

Фенокристаллы плагиоклаза (0,5-1 см) обычно имеют неровные изъеденные контуры. Плагиоклаз слабо пелитизирован и серицитизирован. Зеленая роговая обманка присутствует в длиннопризматических и кольцевидных кристаллах (без опацитовой каемки) длиной 0,1-0,5 см, в редких случаях нацело замещен гидроокислями железа, хлоритом и карбонатом. Биотит свежий, частично замещается хлори-

том. Аксессорные минералы (апатит, магнетит, сфен, циркон) встречаются в виде мелких единичных зерен.

В эндоконтактовой зоне интрузий гранодиорит-порфиров содержатся ксенолиты вмещающих пород. Алевролиты и туфы из экзоконтактовой зоны, мощность которой исчисляется сантиметрами, ороговикованы, осветлены. В них наблюдались тонкие прожилки гидроокислов железа, хлорита, цеолита и бурого слюдистого минерала. В пределах интрузий гранодиорит-порфиров по тектоническим зонам мощностью около 1 м отмечалось окварцевание, в результате которого породы приобретают реликтовую структуру. Среди криптокристаллической кварцевой массы наблюдаются контуры вкраплеников плагиоклаза, выполненные кварцем, и псевдоморфозы кальцита и гидроокислов железа по зернам роговой обманки. По этим же зонам изредка наблюдались примазки и прожилки азурита.

По химическому составу гранодиорит-порфиры (см.таблицу) близки к среднему типу гранодиоритов по Р.Дали, отличаясь несколько повышенным содержанием щелочей. Петрографический и химический составы пород свидетельствуют о их близости к группе плагиогранитов и плагиоклазовых гранодиоритов.

Интрузии гранит-порфиров и гранодиорит-порфиров прорывают отложения ильинской свиты и перекрываются породами апукской свиты. Взаимоотношения с отложениями пахачинской и корфовской свит не наблюдались ввиду их пространственной разобщенности. По химическому составу эти интрузии резко отличаются от палеогеновых интрузий и близки к интрузивным породам раннечетвертичного возраста. Кроме того, в составе корфовской свиты на данной территории присутствуют туфы кислого состава, что указывает на проявление магматизма кислого состава в плиоценовое время. Учитывая отсутствие наблюдений контактов интрузий гранит-порфиров и гранодиорит-порфиров с отложениями пахачинской и корфовской свит, возраст интрузий принимается как миоценовый, возможно плиоценовый.

Эффузивный облик интрузивных пород, их слабая раскристаллизованность, куполовидная форма залегания, очень маломощная зона экзоконтактовых изменений, наличие реликтов кровли позволяют относить эти интрузии к приповерхностным, возможно, к неккам, и предполагать субвулканическую природу этих образований.

#### ЧЕТВЕРТИЧНЫЕ СУБВУЛКАНИЧЕСКИЕ ТЕЛА И ДАЙКИ

Субвулканические тела и дайки сложены долеритами, базальтами и оливиновыми базальтами, андезитами, диоритами и кварцевыми диоритами, дадитами.

Долериты, базальты и оливиновые базальты ( $\beta_{\mu}Q$ ). Долериты слагают приповерхностный лакколит в верховых р.Бол.Гитканяу. В плане лакколит имеет неправильные очертания. Его размеры достигают  $4,4 \times 2,4$  км. В рельефе лакколит представляет пологий холм. Контакты тела засыпаны. Отдельность долеритов толстоплитчатая и глыбовая. На востоке лакколит ограничен разломом. Вулканогенные отложения апукской свиты полого (до  $20^{\circ}$ ) наклонены от лакколита, частично перекрывая его пологую кровлю. Долериты - светло-серые и серые неравномернозернистые полнокристаллические массивные породы, иногда полосчатые. Полосчатость обусловлена чередованием разностей коричневого и серого цвета. Структура долеритов порфировидная с микропойкилофитовой и микродолеритовой основной массой. Состав: основной плагиоклаз (№ 55-60) - 50-60%, авгит - 20-40%, оливин - 5-20%, магнетит - 1-3%. В некоторых случаях наряду с авгитом присутствует ромбический пироксен (до 20%). Вкраплениники (до 20%) представлены основным плагиоклазом и оливином. Породы свежие. Лишь зерна оливина с краев, а реже полностью, замещены хлорит-иддингситовым агрегатом.

Базальты и оливиновые базальты ( $\beta Q$ ) слагают дайки, распространенные в верховых р.Майнылыгортин, в верховых р.Бол. Гитканяу и в среднем течении р.Мал.Агваем. Дайки залегают среди отложений апукской, корфовской, пахачинской и ильинской свит и имеют северо-восточное, северо-западное и реже субмеридиональное простирание. Отдельные дайки удается проследить по простиранию на три километра. Мощность даек колеблется от 0,5 до 10 м. Некоторые дайки по простиранию испытывают резкое изменение мощности от 0,5 до 5 м, а в отдельных раздувах до 10 м (р.Мал.Агваем). Дайки, залегающие среди отложений апукской свиты, имеют крутое и вертикальное падение, а среди терригенных пород - большей частью пологое (до  $30^{\circ}$ ), почти согласное и согласное с вмещающими отложениями. Контакты даек волнистые. Отдельность базальтов столбчатая, реже глыбовая и плитчатая.

Базальты и оливиновые базальты представляют собой темно-серые, почти черные, иногда зеленоватые, редко светло-серые порфировые породы, с массивной, иногда пористой или миндалекаменной текстурой. Базальты характеризуются олигофировой или афировой структурой и имеют интерсерпальную или пилотакситовую основную массу. Состав: основной плагиоклаз (№ 50-60) - 50-65%, авгит - 15-30%, вулканическое стекло - 20-30%, магнетит - редкие зерна. Во вкраплениниках (до 20%) присутствуют в основном плагиоклаз и редкие зерна моноклинного и ромбического пироксенов. Плагиоклаз

обычно свежий, а пироксены частично или полностью замещены карбонатом. Вулканическое стекло свежее, иногда почти полностью хлоритизировано. Миндалины сложены хлоритом и кальцитом, редко кварцем, цеолитом.

Оливиновые базальты обладают глымеропорфировой и афировой структурой с микродолеритовой и интерсерпельной основной массой. Вкрапленники представлены оливином. Состав: основной плагиоклаз (№ 50–68) – 40–55%, оливин – 10–35%, авгит – 15–25%, гиперстен – 0–3%, вулканическое стекло – 0–25%, магнетит – 0–3%. Оливин обычно полностью замещен хлоритом и иддингситом. Стекло буроватого цвета свежее, иногда хлоритизировано и карбонатизировано. Базальты и оливиновые базальты, слагающие дайки среди вулканогенных отложений апукской свиты, почти не изменены, тогда как эти же породы в дайках среди терригенных неогеновых пород характеризуются частичной карбонатизацией. Миндалины сложены хлоритом, карбонатом и цеолитом, последний образует сферолитовые и радиально-лучистые агрегаты. В эндоконтакте даек породы стекловатые. Мощность зоны закалки 1–5 см.

Эзоконтактовых изменений в породах апукской свиты не наблюдалось. Алевролиты и песчаники пахачинской свиты на контакте с базальтами очень трудно отделить от изверженной породы. Они ороговикованы, иногда осветлены, часто выделяются темно-бурой и желтой окраской, обусловленной гидроокислами железа. Мощность измененных пород колеблется от 0,5 до 5 м. В редких случаях в песчаниках наблюдались маломощные прожилки кальцита.

Диориты и кварцевые диориты (δο) слагают некки (возможно, некоторые тела имеют форму лакколитов), приуроченные к центральным частям вулканов, и одну дайку. Некки обнаруживаются в районе выс. 705 м, в верховых р.Бол.Ольховая, в верховых р.Илкывай, в верховых р.Чал.Агвай, а дайка на правобережье р.Илкывай. Большинство некков располагается цепочкой северо-восточного простирания. В плане некки имеют изометричную или овальную форму с размерами от 0,4x0,4 до 0,8x2,4 км. Диориты прорывают вулканогенные образования нижней подсвиты апукской свиты, а с породами верхней подсвиты их контакт не наблюдался. Для диоритов характерна параллелепипедальная, глыбовая и плитчатая отдельность. Контакты тел крутые и часто закрыты делювиально-пролювиальными отложениями.

Диориты и кварцевые диориты представляют массивные неравномернозернистые мелкокристаллические породы светло-серого и серого цвета с призматическойзернистой, гипидиоморфнозернистой, иногда переходной от гипидиоморфнозернистой к ойтовой, и порфи-

ровидной структурой. Состав: средние плагиоклазы (№ 33–48) – 70–80%, калиевый полевой шпат – 0–3%, моноклинный пироксен – 3–20%, ромбический пироксен – 0–5%, бурая и зеленая роговые обманки – 0–10%, кварц – 0–8%, рудный минерал – 1–5%, апатит – единичные зерна, турмалин – единичные зерна. В порфировидных разновидностях вкрапленники представлены плагиоклазом (5–30%) и моноклинным пироксеном (0–3%).

Основная масса имеет микрогипидиоморфнозернистую и микропризматическуюзернистую структуру. Плагиоклаз в диоритах и кварцевых диоритах свежий, иногда альбитизированный. Зерна пирокснов имеют неровные, изъеденные контуры. Обычно пироксены свежие, но в редких случаях замещаются тонкозернистым агрегатом, состоящим из кальцита, хлорита и магнетита. Бурая роговая обманка встречается в единичных зернах, слабо хлоритизирована. Турмалин присутствует в виде игольчатых кристаллов темно-зеленого или сине-зеленого цвета. Отмечались редкие зерна эпидота. В эндоконтактовой зоне диоритов встречаются редкие ксенолиты эфузивов, которые часто полностью изменены и превращены в микрозернистый агрегат амфибол-альбит-кварцевого состава с микрогранобластовой структурой.

В верховых р.Илкывай в эзоконтакте диоритового тела наблюдались измененные андезиты с реликтовой структурой. Основная масса этих андезитов представляет криптокристаллический агрегат из мелких зерен кварца, хлорита, амфибала и турмалина. Редкие вкрапленники темноцветных минералов зацелены либо хлоритом, либо агрегатом, состоящим из турмалина и вторичного амфибала. В породе отмечались редкие кварц-эпидотовые гнезда. В удалении на 10–20 м от тела диоритов отмечалось уплотнение туфов. В некоторых случаях в эзоконтактовой зоне диоритов наблюдались интенсивная трещиноватость вмещающих пород, а также мелкая вкрапленность пирита и прожилки альбита, кварца, амфибала и хлорита.

Дайка диоритов на правобережье р.Илкывай прорывает туфы нижней подсвиты апукской свиты и приурочена к тектоническому нарушению северо-восточного простирания. Видимая мощность дайки 13 м, падение – вертикальное. Контакты дайки с вмещающими породами неровные. Диориты слагают центральную ее часть, а ближе к контакту постепенно сменяются серым роговообманковым андезитом. Мощность закаленной зоны достигает трех метров. В эндоконтакте дайки наблюдались ксенолиты туфов. Вмещающие породы вблизи дайки сильно трещиноватые и обожженные.

По химическому составу (см.таблицу) порфировидный кварцевый диорит отличается от типового состава по Р.Дэли пониженным со-

длением фемических компонентов и несколько повышенным содержанием щелочей. Минеральный и химический состав свидетельствует о том, что данные породы относятся к лейкодиоритам.

**Анадезиты** ( $\alpha Q$ ) слагают большинство субвулканических тел и даек. Субвулканические тела представляют экструзивные купола (приповерхностные лакколиты), расположенные среди туфов и лав апукской свиты и приуроченные к предполагаемым центрам извержения. Экструзии анадезитов установлены на правом берегу р. Ненгвеем, в верховьях р. Нелекуул, в верховьях рек Кенгувеем и Илкызаям, на левом берегу р. Сенайзаям и выделяются в рельфе в виде куполовидных и конических вершин. В верховьях р. Илкызаям экструзия анадезитов прорывает туфы нижней подсвиты апукской свиты. В плане экструзии обычно имеют изометричную форму размером от  $0,05 \times 0,05$  до  $1,2 \times 1,3$  км. Лишь в верховьях р. Илкызаям тело анадезитов вытянуто в длину на 1 км при ширине 200 м. Контакты экструзий обычно крутые, редко пологие ( $30^\circ$ ) и часто закрыты современными осыпями.

Дайки анадезитов на площади района распределены очень неравномерно. Они группируются в пучки и полосы и сосредоточены на крайнем северо-западе района, в верховьях р. Бол. Гитканяу, и на юго-востоке района среди отложений апукской свиты. Дайки имеют северо-восточное или северо-западное простирание, редко субмеридиональное и субширотное. На юго-востоке района большинство даек концентрируется в полосе северо-восточного простирания шириной 2-3,5 км и протяженностью до 20 км. На правобережье верхнего течения р. Бол. Ольховая дайки расположены радиально по отношению к телу диоритов. Морфологически дайки выражаются в виде узких невысоких (до 2 м) гривок, либо в виде элювиальных развалов, прослеживающихся на десятки, реже сотни и тысячи метров. Мощность даек варьирует от 1 до 30 м. Отдельность плитчатая и тонкоплитчатая, редко крупноглыбовая и столбчатая. Дайки имеют крутое или вертикальное падение. Только в верховьях р. Агвазиям отмечалось пологое ( $30^\circ$ ), согласное с отложениями кордовской свиты, залегание дайки. Контакты даек волнистые, заливчатые, с ксенолитами вмещающих пород, иногда наблюдались маломощные и короткие апофизы.

По составу выделяются пироксеновые и роговообманковые анадезиты. Последние слагают большинство даек анадезитов и экструзии в верховьях рек Илкызаям и Кенгувеем.

**Пироксеновые анадезиты** – светло- и темно-серые, зеленоватые порфировые и гломеропорфировые, редко афиевые породы с массивной, либо пористой текстурой. Вкрапленники (10-32%) представлены средним и основным плагиоклазом ( $\# 45$ -

55) – 10-30%, авгитом и гиперстеном – 2-5%. Основная масса обладает гиалопилитовой, пилотакситовой или стекловатой структурой, и состоит из микролитов плагиоклаза, бурого вулканического стекла, редких зернышек пироксена (до 5%), пылевидного рудного минерала. Породы свечевые, в редких случаях вулканическое стекло слабо хлоритизировано.

**Роговообманковые анадезиты** – светло-серые, почти белые порфировые и афиевые породы. Вкрапленники (5-7%, редко 40%) представлены средним и основным плагиоклазом ( $\# 43-49$ , в единичных случаях  $\# 50-64$ ) – 3-5%, иногда 25% и роговой обманкой – 1-3%, редко 7%. В некоторых случаях присутствуют единичные зерна авгита и гиперстена. Основная масса имеет пилотакситовую, гиалопилитовую или стекловатую структуру и состоит из лейст среднего плагиоклаза ( $\# 43-46$ ) и вулканического стекла. Магнетит (<1%) присутствует в вулканическом стекле в виде тонкой пыли. Роговая обманка представлена зеленой обыкновенной или базальтической разновидностями, часто с опацитовой каемкой. Вулканическое стекло прозрачное, частично девитрифицировано, отчего имеет пятнистое погасание. Иногда по стеклу отмечалось незначительное развитие серпента и хлорита. В эндоконтакте даек анадезиты стекловатые с олигофировой структурой и обычно флюидальной, реже пористой текстурой. В дайках роговообманковых анадезитов эндоконтактовая зона сложена черными стекловатыми анадезитами. Мощность зоны закалки составляет от 5 до 25 см, редко достигает 1 м. В экзоконтакте даек отмечалось незначительное уплотнение и осветление туфов и лав. Чаще в лавах видимых изменений не наблюдалось. Иногда вмещающие породы пронизаны тонкими прожилками кальцита и гидроокислов железа. Мощность зоны экзоконтактовых изменений измеряется первыми сантиметрами.

Химический состав (см. таблицу) роговообманкового анадезита из дайки в верховьях р. Кенгувеем соответствует типовому составу по Р. Дэли, отличаясь несколько повышенным содержанием кремниекслоты.

**Дациты** ( $CQ$ ) слагают экструзию в верховьях р. Бол. Гитканяу и две дайки в верховьях р. Илкызаям. Экструзия на местности выделяется белым цветом среди серых туфов и лав нижней подсвиты апукской свиты. В плане она представляет овал размером  $0,4 \times 0,7$  км. Контакты ее скрыты осыпями. Отдельность грубоплитчатая, плитки имеют наклон под углом  $50^\circ$  от центра тела, что, вероятно, свидетельствует о его куполовидной форме. Дациты – светло-серые, почти белые сахаровидные порфировые породы с массивной и пористой текстурой. Во вкрапленниках присутствуют: средний плагиоклаз

(№ 46-49) – 7-30%, гиперстен и авгит – 7-10%, биотит и базальтическая роговая обманка – единичные зерна, магнетит – единичные зерна. Основная масса имеет фельзитовую или переходную от стекловатой к фельзитовой структуру. Вкрапленники плагиоклаза представляют широкие таблицы иногда с оплавленными краями. Роговая обманка имеет опалитовую каёмку. По трещинам в дацитах развиты карбонат и гидроокислы железа.

Дайки дакитов с глыбовой отдельностью прорывают туфы и лавы нижней подсвиты апукской свиты. Одна из них имеет северо-западное, а другая – северо-восточное простирание при вертикальном падении. Видимая мощность их соответственно 2 и 20 м, а протяженность – до 500 м. Контакты засыпаны. Центральные части даек сложены светло-серыми, почти белыми олигофировыми дакитами, а эндоконтактовые зоны (до 1 м) – черными стекловатыми дакитами с флюидальной текстурой. Вкрапленники представлены плагиоклазом (№ 44) – 1-5%, роговой обманкой – 0-2% и биотитом – 0-1%. Основная масса имеет апогиалопилитовую или фельзитовую, с участками микропойкилитовой, структуру.

Химический состав дакитов (см.таблицу) свидетельствует о повышенном содержании кремнекислоты и щелочей по сравнению со средним типом по р.Дэли, что приближает их к группе риолитов.

Возраст некков, экструзий и даек принимается четвертичным на основании того, что большинство этих тел имеет активный контакт с образованиями апукской свиты. По-видимому, они внедрились в конце раннечетвертичного времени. Возможно, что некоторые из них сформировались в среднечетвертичное время, так как верхний возрастной предел апукской свиты точно не установлен.

Химический и минеральный состав, структуры и текстуры пород, близость их состава с эфузивами апукской свиты, формы слагаемых ими тел позволяют предположить субвулканическую природу этих образований.

С четвертичными изверженными породами связаны проявления гидротермально измененных пород, наблюдавшиеся на двух участках в юго-восточной части района в поле развития туфов и лав нижней подсвиты апукской свиты и пространственно приуроченные к неккам диоритов. На правобережье верхнего течения р.Бол.Ольховаям, в центре кальдеры, вторичные кварциты слагают пологий холм, покрытый элювиально-делювиальными плитчатыми осыпями и глыбовыми развалами вторичных кварцитов и выделяющийся белым пятном на фоне серых туфов и лав нижней подсвиты апукской свиты. В плане выход представляет собой овал размером 0,5x1,0 км, вытянутый в северо-восточном направлении.

Вторичные кварциты – белые, сахаровидные массивные и мелко-пористые породы кварц-алунитового и кварцевого состава с микрогранобластовой, редко брекчевой, структурой. Кварц-алунитовые породы состоят из криптокристаллического агрегата кварца и кремнистого вещества, мелких чешуевидных зерен алунита. Во вторичных кварцитах с брекчевой структурой обломки кварцитов сцеплены опалом и гидроокислями железа. Иногда в них наблюдались миндалины и прожилки, сложенные мелкокристаллическим кварцем. Вторичные кварциты, вероятно, образовались в приповерхностной зоне при воздействии кислых гидротермальных растворов на андезиты с порфировой структурой и гиалопилитовой основной массой. В отдельных образцах наблюдались все разности от неизмененного андезита до вторичного кварцита. В начале происходит частичное или полное замещение вкрапленников и лейст плагиоклаза микрекристаллическим кварцем и хлоритом иногда с примесью серицита, а вулканического стекла основной массы – хлоритом, появляются редкие чешуйки алунита. Кварц-алунитовые породы характеризуются полным отсутствием признаков структуры первоначальной породы.

Второй выход гидротермально-измененных пород расположен на водоразделе в верховьях правого притока р.Илкываем и представляет скопление элювиальных и делювиальных глыб (0,5-1,0 м в попечнике) алунит-кварцевых и кварц-турмалиновых пород, вытянутое в виде узкой (10-15 м) полосы северо-восточного простирания на протяжении 400 м. Алунит-кварцевые породы белого, желтоватого цвета, массивные и пористые, характеризуются микрогранобластовой, участками микролепидогранобластовой, структурой. Пустоты в них имеют неправильную форму, иногда выполнены гидроокислями железа. Кварц-турмалиновые породы серого цвета, пористые, состоят из мельчайших зерен кварца и неправильных зерен и иголочек турмалина. Иногда встречаются радиально-лучистые турмалиновые солнца (до 1 см в диаметре). Турмалин буровато-зеленый и синий, нередко пятнистый и зональный – синий в центральной части зерна и буровато-зеленый в краевой. Оптические константы турмалина:  $Ng = 1,661 \pm 0,002$ ,  $Np = 1,633 \pm 0,002$ ,  $Ng-Np = -0,028$ .

Возможно, что возникновение вторичных кварцитов результат сольфатарной деятельности в заключительные этапы формирования вулканогенных образований апукской свиты и связанных с ними интрузивных проявлений. С постмагматической гидротермальной деятельностью, вероятно, связана и ртутная минерализация, о наличии которой свидетельствует присутствие киновари в шлихах из водотоков вблизи участков гидротермально-измененных пород.

## ТЕКТОНИКА

Составлено в научном редакторстве А.И. Смирновым

Территория листа Р-59-ХХVI является частью Корякской складчатой системы и относится к Олюторскому прогибу (Б.Х. Егиазаров, И.М. Русаков, 1960 г.). Район располагается на северо-восточном погружении Лыгдинского антиклиниория, ядро которого сложено породами вочвинской свиты. Лыгдинский антиклиниорий на территории листа характеризуется сложной складчато-глыбовой структурой. На крыльях антиклиниорий перекрыт горизонтально и полого залегающими вулканогенными образованиями апукской свиты. Строение района (рис. 1) определяется следующими пликативными структурами (с юга на север): Агвайская синклиналь, Сенайваймская синклиналь, Чевынвейемская антиклиналь, Гиленвеймская синклиналь, Майнтайваймская антиклиналь. Оси складок имеют северо-восточное простирание. Шарниры их погружаются на северо-восток.

Агвайская синклиналь прослеживается от западной границы района в северо-восточном направлении на 38 км и далее скрывается под полого залегающими нижнечетвертичными вулканогенными образованиями. Ширина ее меняется от 15 до 6 км. Синклиналь сложена отложениями ильпинской свиты. Шарнир складки испытывает поперечный перегиб в 20 км от западной границы района. Далее на северо-восток на погружении шарнира появляются отложения пахачинской и корфовской свит. Углы падения пластов на крыльях синклинали 20-40°. На юго-восточном крыле складки обнажаются породы вочвинской свиты, слагающие антиклинальную складку второго порядка. Крылья синклиналиеныены крутыми разломами, вдоль которых образовались приразломные складки шириной от 50 до 1000 м. Углы падения пластов на их крыльях достигают 70°. В приосевой части синклиналь осложнена складками шириной до 2 км с углами падения пластов до 40°. Агвайская синклиналь характеризуется выдержаным отрицательным магнитным полем со значениями  $\Delta T$  до -250 гамм. Выходы вулканогенных пород на ее юго-восточном крыле получили отражение в виде положительного магнитного поля, вытянутого в северо-восточном направлении. Границы синклинали почти совпадают с линиями нулевых значений  $\Delta T$  (рис. 2).

Сенайваймская синклиналь прослеживается из верховьев р. Агвайм в верховья р. Сенайвайм на расстояние около 30 км. В мульде синклинали обнажаются породы ильпинской свиты, а на крыльях — вочвинской свиты. Синклиналь имеет асимметричное строение: углы падения пластов на юго-восточном крыле 50-70°, иногда 90°, а на северо-западном — 20-50°. На воздымании

шарнира синклиналь осложнена мелкими складками северо-восточного простирания шириной до 1 км. На юго-восточном крыле синклинали вдоль крупного разлома на отдельных участках пласти собраны в складки северо-восточного простирания шириной от 0,1 до 1 км. Редкие пологие складки северо-западного простирания имеют ширину до 1 км.

Чевынвейемская антиклиналь прослеживается из верховьев р. Агвайм в верховья р. Чинайвеем на расстояние около 35 км. Ширина ее меняется от 10 до 15 км. Ядро складки сложено породами вочвинской свиты. На крыльях ее и на погружении шарнира обнажаются породы ильпинской свиты. На юго-восточном крыле антиклинали пласти падают под углами 20-50°, а на северо-западном — 20-30°. Крылья антиклинали осложнены складками шириной до первых сотен метров с углами падения пластов 60-80°. Приосевая часть антиклинали нарушена разломами.

Гиленвеймская синклиналь прослеживается из верховьев р. Майнвыгоргы в верховья р. Майнтайвайм на протяжении 60 км. Ширина ее около 15 км. На крыльях синклинали обнажаются породы вочвинской и ильпинской свит, а в мульде — пахачинской свиты. Значительная часть структуры перекрыта горизонтально и полого залегающими отложениями апукской свиты. На крыльях синклинали пласти пород имеют пологое залегание (20-30°). Юго-восточное крыло складки нарушено крупным диагональным разломом северо-восточного простирания.

Майнтайваймская антиклиналь протягивается от западной границы района до низовьев р. Чевынвейем. Длина ее около 30 км. На северо-востоке складка срезана разломом северо-западного простирания. Антиклиналь сложена породами вочвинской свиты. Юго-восточное крыло антиклинали опущено по крупному разлому, а северо-западное имеет ширину около 10 км и осложнено серией разломов северо-восточного простирания, к которым приурочены складки шириной 1-2 км. В нижнем течении р. Хайтайвайм и на правом берегу р. Пахачи антиклиналь несогласно перекрыта полого залегающими отложениями пахачинской свиты, слагающими брахисинклинальную складку.

Над антиклиналями, ядра которых сложены породами вочвинской свиты, по данным аэромагнитной съемки, наблюдается переменное магнитное поле со значениями  $\Delta T$  от -350 до +300 гамм. Синклинали, выполненные терригенными отложениями ильпинской и пахачинской свит, характеризуются выдержаным отрицательным магнитным полем со значениями  $\Delta T$  до -300 гамм.

На севере и юго-востоке района развиты вулкано-тектонические

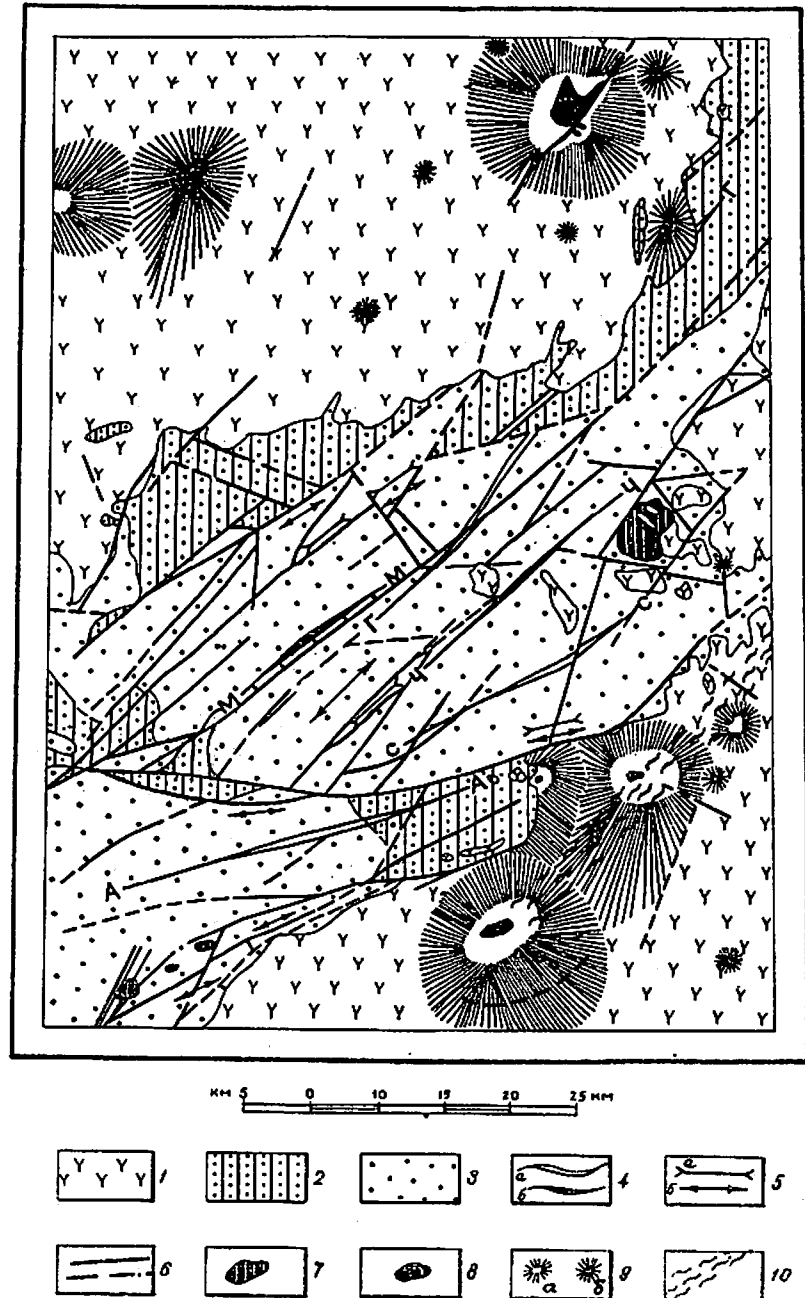


Рис. I. Тектоническая схема

I - верхний структурный ярус ( $Q_T$ ); 2-3 - нижний структурный ярус: 2 - второй подъярус ( $N_1-N_2$ ), 3 - первый подъярус ( $Eg_3-N_1$ ); 4-5 - оси складок нижнего структурного яруса: 4 - первого порядка:  
а) синклиналей, б) антиклиналей; 5 - второго порядка:  
а) достоверные, б) предполагаемые; 7 - миоценовые интрузии;  
8 - четвертичные субвулканические тела; 9 - потухшие вулканы:  
а) вулканы с эрозионной кальдерой, б) туфовые конусы, лавовые  
и экструзивные купола; 10 - зоны вскрытых разломов, контролиру-  
ющих магматические и гидротермальные проявления. Буквами на  
схеме обозначены синклинали: АА - Агваимская, СС - Сенайвай-  
ская, ГГ - Гиленвеемская и антиклинали: ЧЧ - Чевынвееэмская,  
ММ - Майнитайваймская

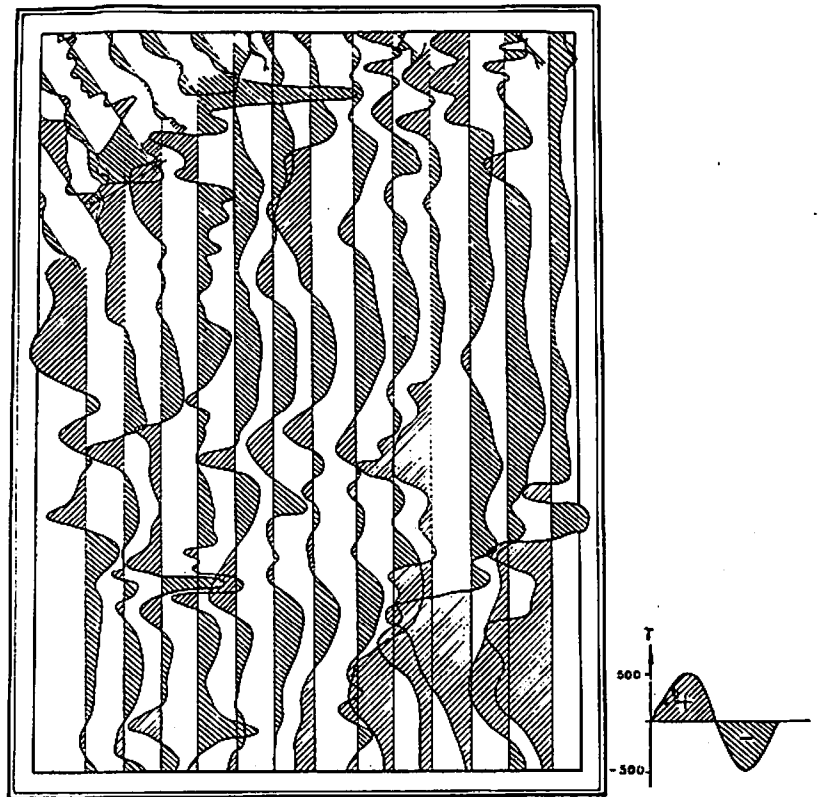


Рис. 2. Схема графиков  $\Delta T$  магнитного поля  
(составлена по материалам Л.А.Майкова и др., 1960г  
и И.Б.Беляева и др., 1964г)

структурой, представляющие собой вулканические постройки, возникшие в результате извержений центрального типа. Вулканы приурочены к зонам разломов северо-восточного простирания. Не исключено, что происходили также извержения трещинного типа. В пределах развития образований апукской свиты выделяются: вулканические постройки центрального типа с эрозионной кальдерой, туфовые конусы, лавовые купола, экструзивные купола. Вулканы центрального типа с эрозионной кальдерой имеют форму усеченного конуса и обычно сильно разрушены. Они наблюдались в районе выс. 705 м, в верховых р.Илкываем, в верховых р.Агваем, в верховых р.Бол.Гитканяу, в верховых р.Атайнаваем. Наиболее хорошо сохранился вулкан, расположенный на юге района (выс. 705 м) сложенный псефитовыми и агломератовыми туфами смешанного состава с редкими потоками и покровами лав, полого ( $10-30^\circ$ ) падающих в направлении от центра к краевым частям постройки. В основании вулкан имеет размеры около  $10 \times 12$  км. В центральной его части находится эрозионная кальдера с крупными, обрывистыми склонами, открытая на юго-запад. Глубина кальдеры около 300 м, а площадь  $1,6 \times 3,6$  км. К центральной части кальдеры приурочены некк диоритов и вторичные кварциты. Кальдера в значительной степени разрушена денудационными процессами, которые и сформировали ее современный облик. Склоны вулкана прорваны радиальными дайками андезитов, а вдоль его подножия на юге располагается узкая глубокая дугообразная ложбина, по-видимому, фиксирующая кольцевой разлом.

В верховых р.Бол.Гитканяу вулканическая постройка сложена преимущественно лавами и в меньшей степени туфами. Лавы наклонены от ее центра под углом  $10-20^\circ$ . Наиболее высокие точки этого сооружения имеют абсолютные отметки  $1100-1200$  м. Диаметр основания составляет  $10$  км. В центральной части вулкана расположена эрозионная кальдера глубиной около 500 м. На дне кальдеры вскрываются тела долеритов и дацитов. Южный край постройки прорван расходящимся пучком даек андезитов и базальтов.

Туфовые конусы расположены на левом берегу р.Велькинвеем, в ее верховых и в среднем течении, и сложены псефитовыми и агломератовыми туфами. Эти сооружения располагаются по линии меридионального простирания. Склоны конусов закрыты горизонтально залегающими лавами. В основании конуса достигают размеров  $3 \times 9$  км при относительной высоте около 600 м. По данным аэромагнитной съемки над туфовыми конусами зафиксированы положительные значения  $\Delta T$  на фоне выдержанного отрицательного магнитного поля.

На правом берегу р.Нелькинвеем (выс. 790 м) наблюдалась коническая вулканическая постройка, сложенная преимущественно лава-

ми андезито-базальтами. Диаметр основания ее около 10 км. Лавовые потоки на склонах вулкана наклонены от центра под углом 10°. Вершина постройки представляет конус высотой 100 м с диаметром основания около 400 м, сложенный андезитами. На склонах вулкана наблюдалось еще два мелких конуса андезитов высотой 20–40 м с диаметром основания около 100 м. К центру вулкана приурочена отрицательная магнитная аномалия (см.рис.2) шириной более 6 км, свидетельствующая, вероятно, о близости к поверхности магнитных масс и, возможно, об обратной намагниченности пород этой постройки.

В верховьях р.Кенгувеем экструзия андезитов имеет форму купола, отчетливо выделяющегося в рельефе. По основанию купол достигает 1,3 км в поперечнике. Туфы нижней подсвиты апукской свиты, облекающие экструзию, полого наклонены (10–30°) от ее центра, что, вероятно, частично вызвано ее внедрением. Возможно, экструзия закупорила жерло вулкана.

Над образованиями апукской свиты, распространенными на севере и юго-востоке района, магнитное поле отличается как общим характером, так и значениями  $\Delta T$ . На севере района магнитное поле имеет резко выраженный пилообразный характер, что является результатом неравномерной намагниченности пород и, вероятно, наличием обратно намагниченных тел. Значения  $\Delta T$  колеблются от +500 до -500 гамм. Для юго-востока района характерно выдержанное положительное магнитное поле. Значения  $\Delta T$  меняются от +150 до +850 гамм. Вероятно, это свидетельствует об отсутствии обратно намагниченных пород в разрезе апукской свиты на этой территории. В какой-то степени основанием для этого вывода могут служить результаты палеомагнитных исследований, проведенных в 1964 г. С.И.Андреевым (НИИГА) в верховьях р.Ильвы, которые показали присутствие здесь только прямо намагниченных пород.

Складчатые структуры, и в меньшей степени вулкано-тектонические, осложнены разрывными нарушениями. В условиях плохой обнаженности и вследствие неоднократного возобновления движений определение возраста разломов очень затруднительно. По отношению к простирации осей складок наблюдались продольные, поперечные и диагональные разломы. Среди разрывных нарушений преобладают разломы северо-восточного простирания (20–60°), в меньшей степени развиты разломы северо-западного и субширотного простирания.

Самыми крупными из разрывных нарушений являются: разлом субширотного простирания, срезающий северное крыло Агвайской синклинали, и сброс, проходящий по правобережью р.Майнтайвайам. От р.Пахачи через среднее течение рек Майнтайвайам и Агвайам в верховья р.Сенайвайам на протяжении 55 км прослеживается крупный

разлом субширотного простирания. В восточной и западной частях территории он приобретает северо-восточное простиранье. Разлом ориентирован под острым углом к простираннию основных складчатых структур района. По разлому породы вочвинской свиты, распространенные на его северном крыле, приведены в соприкосновение с отложениями ильпинской, пахачинской, корфовской и апукской свит. Вертикальная амплитуда смещения составляет более 2 км. В зоне разрывного нарушения породы интенсивно катаклизированы, пронизаны густой сетью тонких прожилков кальцита и кварца, с гидроокислами железа по трещинам. Вблизи разлома пласти пород собраны в мелкие крутые, иногда веерообразные складки. Ширина зоны нарушенных пород (включая мелкую складчатость) измеряется двумя километрами. Движения по этому разлому носили, вероятно, сложный характер включавший элементы крутого надвига и сдвига. Заложение этого разлома, возможно, произошло в начале палеогена, и он явился границей двух вулканических областей. В одной из них происходило накопление туфов и лав трахитов, трахиандезитов и андезитов вместе с яшмами, аргиллитами и известняками, а в другой – туфов андезитов, яшм, известняков, аргиллитов. В позднем олигоцене к северу от этого разлома накапливалась мощная терригенная толща, тогда как к югу осадочные породы имели резко сокращенную мощность. Последние подвижки по этому разлому происходили в четвертичный период, приведя в соприкосновение образования апукской и вочвинской свит.

По правобережью р.Майнтайвайам и по левобережью р.Майнтывайам на протяжении около 60 км прослеживается крутой сброс, ориентированный под острым углом к простираннию осей складок. На юго-западе района по нему приведены в соприкосновение нижние и верхние горизонты вочвинской свиты, а на северо-востоке – отложения ильпинской и пахачинской свит. Смещение носит шарнирный характер: на юго-западе северное крыло разлома поднято, а на северо-востоке – опущено. Вертикальная амплитуда сброса достигает 2 км.

Разрывные нарушения, особенно широко развитые в центральной и южной частях района, фиксируются зонами интенсивно трещиноватых пород, иногда превращенных в катаклизиты и милониты. Часто наблюдались многочисленные зеркала скольжения. В пределах зон породы нередко пронизаны густой сетью тонких прожилков кальцита, кварца, иногда барита. Разломы сопровождаются оперяющими мелкими нарушениями. Мощность зон нарушенных пород измеряется от 2–10 до 20–40 м. На местности к разломам приурочены понижения в рельефе либо прямолинейные участки речных долин. Величина вертикаль-

ных смещений непостоянна и меняется от десятков метров до 500 м и более. Горизонтальные смещения незначительны. Разрывные нарушения имеют вертикальные и крутопадающие на северо-запад или юго-восток плоскости смеcтителей. Последнее относится к разломам северо-восточного простираия.

Классификация разрывных нарушений затруднительна ввиду того, что они не различаются ни наклонами смеcтителя, ни мощностью или характером зон дробления. Разломы северо-восточного простираия, вероятно, являются сбросами и взбросами; северо-западного - сбросами, субширотного - сбросами и надвигами. Последние обычно усложняют мелкие складки и, как правило, амплитуды их невелики.

Среди раннечетвертичных вулканогенных образований апукской свиты разрывные нарушения развиты незначительно и определяются по зонам трещиноватых и окелевненных пород. Зоны имеют северо-восточное или северо-западное простираие и мощность до 10 м. Смещения по ним отмечались в редких случаях. Вертикальная амплитуда достигает, по-видимому, 50 м. Чаще разломы скрыты или фиксируются дайками. На юго-востоке района ослабленная зона северо-восточного простираия шириной до 3 км и протяженностью около 20 км характеризуется приуроченностью многочисленных даек, субвулканических тел диоритов и выходов гидротермально измененных пород. В верховых р.Бол.Гитканяу дайки подчеркивают зону северо-восточного простираия шириной около 2 км и протяженностью 5 км. Единичные дайки имеют северо-западное простираие. В верховых левого притока р.Агвайм, в районе вулкана выс.705 м, развиты радиальные и кольцевые разломы.

На исследованной территории выделяются два структурных яруса: нижний и верхний. Нижний структурный ярус объединяет структуры, образованные палеогеновыми и неогеновыми отложениями, и состоит из двух подъярусов, разделенных локальным несогласием, возникшим в результате проявления тектонических движений в предсреднемиоценовое время. Первый подъярус включает структуры, сложенные отложениями воччинской и ильлинской свит, а второй - структуры, образованные породами пахачинской и корфовской свит. Для первого подъяруса характерны пликативные структуры северо-восточного простираия, нарушенные многочисленными разломами. Складки по своей морфологии близки к линейному типу. Углы падения пластов изменяются от 20 до 90°. Крупные складки иногда осложнены мелкими. Во втором структурном подъярусе наряду со складками северо-восточного простираия, оси которых совпадают с осьми складок первого подъяруса на крыльях Пылгинского антиклиниория, присутствуют и брахискладки, которые в отличие от первых приуро-

чены к склоновой части антиклиниория. Углы падения пластов обычно составляют 20-30°, иногда достигая 70°.

Верхний структурный ярус объединяет вулкано-тектонические структуры, сложенные туфами и лавами апукской свиты, залегающими с угловым несогласием на более древних отложениях, подвергшихся складчатости, по-видимому, в позднеплиоценовое время. Вулканы часто располагаются цепочками над разломами северо-восточного простираия. Для образований апукской свиты характерно горизонтальное или пологое (10-30°) залегание, обусловленное неровностями долавового рельефа, условиями накопления и, в редких случаях, смещениями по разрывным нарушениям.

В современную эпоху район испытывает медленное поднятие. Об этом свидетельствуют эрозионные врезы как в рыхлых, так и в коренных породах. Глубина эрозионного вреза достигает 40 м. Лавинно-обвальные глыбовые образования, наблюдавшиеся в верховых р.Атайнауяям и левого истока р.Чевынзыем, возможно, свидетельствуют о недавней сейсмичности этой территории.

## ГЕОМОРФОЛОГИЯ

При формировании рельефа существенное значение имели вулканизм, разрывная тектоника, ледниковая деятельность и денудационные процессы. В результате сформировалось низкогорье с абсолютными отметками в основном до 1200 м. По характерным признакам в его пределах выделяется пять типов рельефа: низкогорный денудационно-тектонический рельеф, низкогорный вулканогенно-денудационный рельеф, полого-увалистый рельеф; западинно-буристый рельеф, рельеф аккумулятивной равнины (рис.3).

Низкогорный денудационно-тектонический рельеф распространен в центральной и северо-восточной частях района преимущественно на кремнисто-вулканогенных породах воччинской свиты и частично на терригенных отложениях ильтинской и пахачинской свит. Абсолютные отметки в его пределах колеблются от 500 до 1100 м. Относительные превышения составляют 300-600 м. Рельеф представлен серией вытянутых в северо-восточном направлении стяженных водоразделов со склонами средней крутизны, расчлененных многочисленными глубоко врезанными ручьями, долины которых часто приурочены к разломам. Направление хребтов обусловлено простираием структур субстрата. Водоразделы характеризуются асимметричным строением и имеют крутые юго-восточные склоны и пологие северо-западные, что обусловлено характером движений по разломам. Крупные речные долины ориентиро-

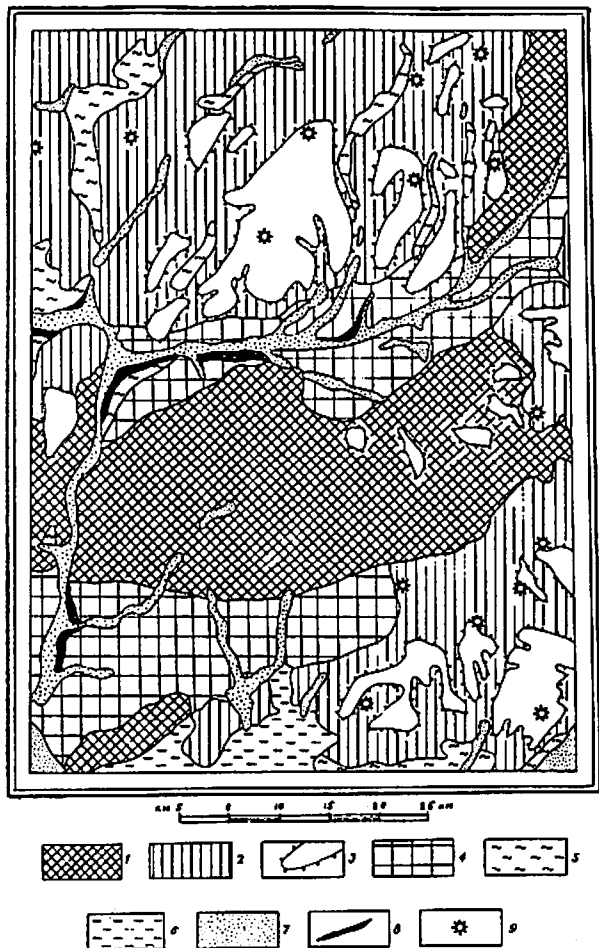


Рис. 3. Геоморфологическая схема

1 - низкогорный денудационно-тектонический рельеф, 2 - низкогорный вулканогенно-денудационный рельеф, 3 - останцы лавовых плато, 4 - полого-увалистый рельеф, 5 - западинно-буగристый рельеф, 6 - рельеф аккумулятивной равнины, 7 - комплекс пойменных террас, 8 - комплекс надпойменных террас, 9 - потухшие вулканы

ванны согласно с простиранием складчатых структур. Только р. Чевыньюеем течет вкрест простирания пластов. В ее верховьях гребневидные хребты с крутыми скульптурными склонами, покрытыми маломощным чехлом элювиально-делювиальных образований, имеют северо-западное простирание. Здесь же находятся самые высокие вершины денудационно-тектонического рельефа, достигающие 1100 м.

Долины рек и ручьев имеют узкий V-образный поперечный профиль с обрывистыми коренными склонами. Для долины р. Майнитайсаям характерен корытообразный облик. В долинах рек и ручьев почти отсутствуют надпойменные террасы. В среднем течении р. Чевыньюеем наблюдались пороги высотой до 20 м. Выше них по течению обычно имеются озеровидные расширения поймы, заполняемые песчано-галечными отложениями.

**Низкогорный вулканогенно-денудационный рельеф** распространен в северной и юго-восточной частях района на эфузивно-пирокластических образованиях алукской свиты и характеризуется преимущественным развитием горизонтальных и пологонаклоненных ( $5\text{--}10^{\circ}$ ) платообразных поверхностей, расчлененных речными долинами. На севере территории эти поверхности имеют общий пологий наклон на юго-запад, а на юго-востоке — на юго-восток. Абсолютные отметки их колеблются от 200 до 1100 м, редко достигая 1300 м и более. В пределах рельефа этого типа находится высшая точка района 1364 м. Относительные превышения составляют 300–500 м, редко 700 м. Платообразные поверхности располагаются на различных гипсометрических уровнях, часто имеют ступенчатый характер, покрыты маломощным чехлом элювиальных образований. В долины рек плато обрываются крутыми уступами высотой до 200 м. Вулканические постройки, выделенные в пределах вулканогенно-денудационного рельефа на основании изучения геологического строения, тектоники и морфологических признаков, в настоящее время в большинстве разрушены, и лишь часть из них сохранила свои первоначальные формы. Всего предполагается около 14 центров извержения, только некоторые из них имеют морфологическое выражение в рельефе. На юге района (выс. 705 м) расположен вулкан с эрозионной кальдерой в центральной части. Он имеет форму усеченного конуса, высотой до 700 м. Слоны его пологие, выпуклые. Слоны кальдеры круты. Глубина кальдеры 300 м. Аналогичный вид имеет постройка на северо-западе района. На правом берегу р. Некивеем вулкан представляет отдельную коническую гору высотой 790 м. Слоны ее пологие, ступенчатые, бронированы лавовыми потоками. На левобережье р. Велькиневеем вершины туфовых конусов высотой 1023 и 1120 м незначительно возвышаются над бронирующими

их лавовыми покровами. В верховьях р.Кенгувеем экструзия андезитов образует куполовидную вершину с пологими склонами, высотой 985 м.

Речные долины в пределах вулканогенно-денудационного рельефа, развитые на севере района, отличаются своим обликом от речных долин юго-восточной его части. На севере долины крупных рек имеют корытообразный облик. Лишь незначительные перегибы на их бортах позволяют установить уровень плечей ледниковых трогов. Мелкие водотоки отличаются крутым продольным профилем и иногда заканчиваются делювиально-пролювиальными конусами выноса. При выходе в долину р.Майнылыгрын реки на протяжении 3-5 км текут в узких каньонах высотой от 20 до 40 м. На юго-востоке района речные долины имеют у-образный поперечный профиль. Крутые склоны долин покрыты глыбовыми осыпями, среди которых обнажаются коренные осстанцы. Долины узкие, труднопроходимые, так как часто завалены крупными валунами и глыбами. Верховья некоторых рек (р.Бол.Ольховая, р.Илькыая) представляют широкие котловины с плоским дном.

Полого-увалистый рельеф распространен в юго-западной части района и по долине р.Майнылыгрын на терригенных отложениях ильинской и пахачинской свит. Это слабо всхолмленная заболоченная плоская поверхность, прорезанная долинами рек. Абсолютные отметки колеблются от 100 до 500 м, относительные превышения достигают 100 м. Реки имеют разработанные ящикообразные долины с комплексом пойменных и реже надпойменных террас и обычно текут среди крутых коренных берегов высотой до 40 м.

Западинно-буристый рельеф развит на рыхлых ледниковых и водно-ледниковых отложениях по долинам крупных рек в северной части района и у его южной границы. Этот тип рельефа представляет слабо всхолмленную поверхность с множеством озер очень разнообразной конфигурации. Редкие холмы располагаются беспорядочно и чаще всего имеют куполовидную форму. В некоторых случаях (верховья р.Бол.Гитканы, правобережье р.Неюквеем) наблюдались дугообразные гряды конечных морен, обращенные выпуклостью на юг. Глубина речного вреза в пределах морен составляет 5-10, редко 20 м. На юге района, вдоль границы западинно-буристого рельефа, на склонах гор располагаются маргинальные каналы в виде узких ложбин на относительной высоте до 60 м.

Рельеф аккумулятивной равнины развит на юге района и представляет собой низкую заболоченную плоскую поверхность с многочисленными озерами, расчлененную реками и ручьями. Глубина вреза достигает 5 м. Далее на юг эта по-

верхность переходит в прибрежную низменность.

Среди рек района основными являются р.Пахача и р.Майнылыгрын. Река Пахача в пределы данной территории заходит лишь своим нижним течением. Несмотря на значительный расход воды река течет в узкой долине, шириной от 1 до 2 км, с обрывистыми берегами. Надпойменные террасы развиты слабо, фиксируются лишь реликты 10 и 20-метровых уровней эрозионных террас, сложенных коренными породами и реже водно-ледниковыми валуно-галечными образованиями. Пойменные аккумулятивные террасы достигают высоты 1 м, редко 2,5 м.

Река Майнылыгрын пересекает район в широтном направлении. Комплекс пойменных террас включает 0,5-1, 1,5-2-метровые уровни, а среди надпойменных выделяются 5-8 и 18-20-метровые террасы. Надпойменные террасы эрозионные, сложены либо целиком коренными породами, либо в верхней части рыхлыми ледниковыми образованиями. Террасы прослеживаются в виде небольших площадок вдоль всей долины. Ширина их обычно менее 300 м, иногда до 1 км.

Рельеф района формировался в течение длительного периода времени. Его зарождение, по-видимому, относится к началу плиоценовой эпохи, когда на значительной части территории существовал континентальный режим. В позднеплиоценовое время район испытал общее поднятие, что привело к установлению континентального режима на всей его территории. В раннечетвертичное время вследствие активизации тектонической деятельности на севере и юго-востоке района интенсивно проявился вулканизм. Извержения происходили из вулканов центрального типа, которые группировались вдоль разломов северо-восточного простирания и сопровождались выбросами пирокластического материала и излияниями лав. Возможно, что в некоторых случаях извержения носили трещинный характер. Продукты вулканической деятельности сформировали аккумулятивный вулканический рельеф. Лавы, бронируя нижележащие отложения, образовали обширные горизонтальные и пологонаклонные поверхности. Раннечетвертичные вулканогенные образования заполняли депрессии, частично распространяясь на возвышенную центральную часть района. Вероятно, к этому времени относится заложение долины р.Майнылыгрын вдоль края поля развития вулканогенных отложений.

Одновременно с извержениями в центральной части территории происходили блоковые подвижки по разломам, и формировался глыбовый рельеф. На всей площади района в результате его общего поднятия все большее значение начали приобретать денудационные процессы.

В среднечетвертичное время, после затухания вулканической

деятельности (возможно, что она продолжалась и в начале этой эпохи), усиливается речная эрозия, и происходит обновление старой и заложение новой гидросети. При этом водотоки использовали зоны разломов, пограничные части вулканов и другие благоприятные зоны. К позднечетвертичному времени был сформирован рельеф, близкий к современному. В позднечетвертичную эпоху общее похолодание климата привело к возникновению ледников, которые наиболее широко распространялись в северной части территории. Ледники возникли в наиболее возвышенных частях, откуда спускались по долинам рек, а иногда перекрывали и невысокие водоразделы. Мощность долинных ледников достигала 300 м. Ледники транспортировали значительное количество обломочного материала, и их таяние сопровождалось накоплением ледниковых и водоно-ледниковых отложений. На рельефе южной части района оледенение почти не отразилось, так как ледники здесь имели очень ограниченное распространение. Общее потепление климата в конце позднечетвертичного времени вызвало быстрое таяние ледников, а возросшая эрозионная деятельность рек привела к некоторому сокращению площади ледниковых и позднечетвертичных вулканогенных образований. Вероятно, к этому времени относится заложение новой долины р.Пахачи, которая, будучи подпруженной ледниками отложениями, изменила свое направление.

Современная эпоха характеризуется интенсивной речной эрозией и денудацией. В начале этой эпохи на юге района песчано-гальчными отложениями, выносимыми реками, была сформирована аккумулятивная равнина.

В настоящее время происходит общее поднятие района. Процессы размыва и переноса обломочного материала резко преобладают над процессами аккумуляции, при этом эрозионный врез достигает 40 м. Только у основания склонов гор наблюдается формирование обширных шлейфов и конусов выноса.

## ПОЛЕЗНЫЕ ИСКОПАЕМЫЕ

На территории листа Р-59-ХХVI установлены проявления бурого угля, меди, свинца, никеля, мышьяка, золота, ртути, алунита и строительных материалов.

## ГОРОЧИЕ ИСКОПАЕМЫЕ

### Бу́рый уголь

Бу́рый уголь обнаружен в трех небольших выходах. Два из них расположены на правом берегу р.Майнылыгыргын и один в среднем

течении р.Бол.Гитканяу. Кроме того, незначительные линзы бурого угля отмечались в верховьях рек Майнылыгыргын и Агваем. Бурые угли приурочены к отложениям пахачинской и корфовской свит и образуют незначительные по размерам выходы.

В нижнем течении р.Майнылыгыргын, среди песчаников и конгломератов средней части пахачинской свиты, встречены 2 прослоя бурого угля мощностью 0,3 и 0,4 м (3), которые подстилаются и перекрываются алевролитами. Угли прослежены на 5 м. Редкие линзы и прослои бурого угля, залегающие среди конгломератов, имеют мощность 0,05-0,07 м. Пласти пород на этом участке наклонены на СВ 65° под углом 50-60°. Уголь полублестящий и матовый, однородный, вязкий, черного цвета, черта бурая. Угли высокозольные, загрязнены глинистыми прослоями. Технический анализ штуковой пробы угля, проведенный в лаборатории СВГУ в 1958 г. аналитиком О.Б.Максимовым, дал следующие результаты: влажность 4,28%, зольность 9,02%, содержание серы I,82%, содержание летучих 51,91%, теплотворная способность 6620 кал.

В среднем течении р.Майнылыгыргын среди песчаников верхней части пахачинской свиты, залегает линза угля мощностью 0,2-0,5 м (2). Выходы угля прослежены на 5 м. Уголь черного цвета, матовый, либо полосчатый за счет чередования блестящих и матовых разностей.

На правом берегу р.Бол.Гитканяу, среди конгломератов и песчаников из нижних горизонтов корфовской свиты, наблюдалась линза бурого угля мощностью 0,5 м и протяженностью 3,0 м (4). Уголь полуматовый, однородный, серовато-черный, плитчатый, участками с раковистым изломом. В золе углей по данным спектрального анализа содержится: кобальта - 0,03%, никеля - 0,08%, цинка - 0,03%.

Единичные линзы бурого угля мощностью 0,1-0,2 м были обнаружены в отложениях корфовской свиты в верховьях рек Майнылыгыргын и Мал.Агваем.

Уголь относится к классу гелитолитов. По мнению А.И.Гинзбурга (ВСЕГЕИ), основным исходным материалом для накопления этих углей послужили древесные и коровье ткани. При превращении растительного материала в уголь преобладали процессы гелификации. Угли клареновые. По степени метаморфизма они относятся к буровугольной стадии углефикации.

Практической ценности угли не представляют.

## МЕТАЛЛИЧЕСКИЕ ИСКОПАЕМЫЕ

### Медь

Проявления меди, наблюдавшиеся на восточном склоне г.Дальний Конус и в верховьях левого истока р.Чевыныеем, приурочены к разломам субширотного простирания. На восточном склоне г.Дальний Конус (8), среди элювиальных развалов плиток гранодиорит-порфиров, встречены обломки с прожилками и примазками азурита. Мощность прожилков до 1,0 см. Центральная часть прожилков сложена кальцитом и кварцем с борнитом, халькопиритом, кулпритом и редкими зернами пирротина, а краевая – азуритом. По результатам спектрального анализа содержание меди 0,01%.

В верховьях левого истока р.Чевыныеем (5) обнаруживаются интенсивно катаклизированные, бурые за счет гидроокислов железа туфы вочвинской свиты, пронизанные кварцевыми и кальцитовыми прожилками, вместе с которыми наблюдалось неравномерное и очень бедное прожилково-вкрашенное сульфидное оруденение в виде тонких (до 1 мм) прожилков и мелких кристаллов халькопирита и пирита. Кроме того, в туфах встречаются гнезда малахита до 10 см в полеречнике с реликтовыми зернами куприта. По данным спектрального анализа в образцах катаклизированных пород с сульфидной вкрапленностью содержатся: медь – 0,02%, свинец – 0,01% и цинк – до 0,005%.

В 2 км к северу от описанного проявления меди наблюдались элювиальные глыбы сиенито-диоритов с гнездами малахита (6).

Самородная медь обнаружена в двух шлихах из аллювия р.Майнылыгыргын в виде единичных пластинок размером 0,1-0,5 мм, которые, вероятно, вынесены из ледниковых отложений.

### Свинец

В 13 шлихах, взятых из аллювия рек центральной части района, установлен галенит в количестве 1-6 зерен на пробу, а в одном – 14 зерен, размеры которых 0,1-0,4 мм. Иногда галенит покрыт белой коркой церуссита.

### Никель

Никель обнаружен спектральным анализом в образцах катаклизированных эфузивов вочвинской свиты на левом берегу р.Майнай-

ваем. Породы пронизаны кварцевыми и кальцитовыми прожилками. Содержание никеля составляет 0,02%, кобальта – 0,003% и меди – 0,01%.

### Мышьяк

В результате шлихового опробования аллювия рек Бол.Гитканяу, Мал.Агваем и левого притока р.Пахачи в 5 шлихах было обнаружено содержание реальгара в количестве 1-2 зерен на пробу и в двух шлихах – ауриллигмента (1 и 8 зерен). Размер зерен 0,1-0,2мм.

### Золото

Золото обнаружено шлиховым опробованием в речном аллювии. В 56 пробах установлены единичные (1-3) пластинки золотисто-желтого золота, хорошо, редко плохо, окатанные размером около 0,1 мм, в редких случаях 1,0 мм. Большая часть шлихов приурочена к долинам крупных рек и, возможно, присутствие в них золота связано с выносом его из ледниковых отложений. Результаты шлихового опробования показали, что содержание золота в пробах бедное, шлихи с золотом рассредоточены по всей площади района и не образуют ореолов рассеяния. Поэтому нельзя решить однозначно вопрос о его происхождении на данной территории, а широкое развитие разновозрастных эфузивных и интрузивных образований, с которыми оно может быть связано, не позволяет дать конкретных рекомендаций для его поисков.

### Ртуть

На изученной территории киноварь установлена в 420 шлиховых пробах, большая часть которых группируется в девяти шлиховых ореолах рассеяния, причем восемь из них приурочены к полям развития пород апукской свиты. Мелкие (0,1-0,3, редко 1,5 мм), окатанные и угловатые обломки красной, темно-красной и ало-красной киновари содержатся в единичных (1-10) и редких (II-II0) зернах.

В юго-восточной части района, среди пород апукской свиты, имеется 4 ореола рассеяния киновари (7,II,I3,I5), которые образуют широкую полосу северо-восточного простирания. Ореолы приурочены к зоне, где туфы и лавы апукской свиты прорваны многочисленными дайками дацитов, диоритов, андезитов и базальтов, редкими телами диоритов. Здесь же установлены выходы гидротермально измененных пород и мелкие разрывные нарушения.

Самый значительный из ореолов рассеяния киновари (I5), пло-

щадью около  $80 \text{ км}^2$ , охватывает верховья р.Илкываем и левого истока р.Бол.Ольховая. Ореол охарактеризован 82 шлихами с единичными мелкими зернами киновари, в одном шлихе из верховьев р.Илкываем обнаружено 64 зерна киновари с размерами 0,1-0,2 мм.

В верховьях р.Атайнауная ореол рассеяния киновари (?) имеет площадь около  $8 \text{ км}^2$ , в пределах которой 7 шлихов содержат единичные зерна киновари.

В районе выс. 705 м расположен ореол рассеяния киновари (II) площадью около  $25 \text{ км}^2$ . В его пределах в 20 шлиховых пробах были установлены единичные зерна киновари.

В верховьях р.Бол.Ольховая ореол рассеяния киновари (I3) имеет площадь около  $3 \text{ км}^2$  и включает пять шлиховых проб с единичными зернами киновари.

Ореол рассеяния киновари (IO), расположенный к северу от выс. 705 м, имеет вытянутую в северо-восточном направлении форму. Его площадь около  $7 \text{ км}^2$ . В ее пределах IO шлихов содержат единичные зерна киновари. Ореол приурочен к разрывному нарушению субширотного простирания, по которому песчаники пехачинской свиты приведены в соприкосновение с туфами и лавами апукской свиты.

К юго-востоку от описанной полосы ореолов, в поле развития андезитов и базальтов апукской свиты, находятся 2 небольших ореола рассеяния киновари. В истоках р.Мал.Ольховая ореол рассеяния (I6) занимает площадь около  $4 \text{ км}^2$ , на которой 7 шлихов содержат единичные зерна киновари.

У восточной рамки листа ореол рассеяния киновари (I7) имеет площадь около  $6 \text{ км}^2$  и объединяет 7 шлихов с единичными зернами киновари.

На юго-западе района ореол рассеяния киновари (9) располагается на южных склонах г.Хечэхэнмин. Площадь ореола около  $16 \text{ км}^2$ . В его пределах 16 шлихов содержат единичные зерна киновари и один шлих - 35 зерен. В шлиховых пробах, наряду с киноварью, присутствует барит, содержание которого колеблется от  $0,5 \text{ г}/\text{м}^3$  до  $91 \text{ г}/\text{м}^3$ . В пределах ореола развиты преимущественно яшмы и, в меньшей степени, туфы воччинской свиты, а также алевролиты и песчаники ильгинской свиты. Породы прорваны интрузиями гранодиорит-порфиров и нарушены разломами северо-восточного ( $30^\circ$  и  $60^\circ$ ) и реже север-северо-западного ( $350^\circ$ ) простирания. В эзонах разломов породы пронизаны прожилками кальцита и иногда барита.

Ореолы рассеяния киновари, выявленные в южной части района, вытягиваются на 50 км в северо-восточном направлении в виде полосы шириной около 5 км. Полоса проявлений киновари располагает-

ся на северо-восточном окончании Олюторской ртутеносной зоны (В.А.Титов, 1959 г., Б.Х.Егназаров, 1961 г.), являясь ее естественным продолжением.

В северной части района выделен один ореол рассеяния киновари (I) площадью около  $12 \text{ км}^2$ . Ореол расположен на левом берегу р.Бол.Гитканяу и объединяет 18 шлиховых проб с единичными и редкими зернами киновари. В пределах этого ореола, на площади  $900 \times 500$  м (по сетке  $50 \times 100$  м при глубине отбора проб 0,2 м) из делювия было взято 114 металлометрических проб, спектральный анализ которых показал, что в трех из них содержание ртути не превышает 0,0001%. Ореол рассеяния расположен в поле развития отложений нижней подсвиты апукской свиты, которые представлены псефитовыми туфами и агломератовыми лавами андезитов, андезито-базальтов и базальтов с маломощными покровами пористых и массивных андезито-базальтов и базальтов. На водоразделах эти породы перекрыты массивными андезитами и базальтами верхней подсвиты апукской свиты. В восточной и западной частях ореола вулканические образования прорваны дайками андезитов северо-восточного и субмеридионального простирания.

Отсутствие коренных рудопроявлений киновари делает затруднительным определение генезиса ртутного оруденения. Вероятнее всего оно связано с постмагматической гидротермальной деятельностью раннечетвертичного времени.

#### НЕМЕТАЛЛИЧЕСКИЕ ИСКОПАЕМЫЕ

##### Алунит

Алунит присутствует во вторичных кварцитах, выявленных на двух участках в юго-восточной части района. Один из участков (I2) находится в верховьях левого притока р.Агваем и приурочен к центральной части эрозионной кальдеры среди туфов и лав нижней подсвиты апукской свиты.

Вторичные кварциты слагают пологий холм высотой до 20 м, покрытый маломощным чехлом плитчатых и глыбовых элювиально-делювильных россыпей. В плане выход вторичных кварцитов занимает площадь  $0,5 \times 1,0 \text{ км}$ . Кварц-алунитовые породы, встречающиеся среди вторичных кварцитов, состоят из мелких ( $0,01 \text{ мм}$ ) зерен кварца, опала и алунита, количественные соотношения которых колеблются в широких пределах. Редкие короткопризматические и таблитчатые зерна алунита достигают  $0,04 \times 0,16 \text{ мм}$ . По данным минералогического анализа кварц-алунитовых пород алунит составляет 10-20%. Оптиче-

ские константы алюнита (по замерам в иммерсионных жидкостях) следующие:  $N_{\text{e}} = 1,593 \pm 0,002$ ,  $N_{\text{o}} = 1,573 \pm 0,002$ . По данным химического анализа в алюните содержится  $\text{K}_2\text{O} - 2,6-4,23\%$ ,  $\text{Na}_2\text{O} - 1,63-3,44\%$ , отношение  $\text{K}_2\text{O}:\text{Na}_2\text{O}$  колеблется от 1,23 до 1,59. Спектральным анализом в кварц-алунитовых породах установлено содержание  $\text{Al}_2\text{O}_3$  от 12,8 до 28%. В шести металлометрических профилеах из I38, отобранных из делювия на выходе вторичных кварцитов (по сетке 50x100 м) по данным спектрального анализа обнаружено от 0,05% до 0,1% фосфора.

Второй участок (I4) гидротермально-измененных пород находится в верховьях правого притока р.Илкыаям. Среди андезитов нижней подсвиты апукской свиты встречаены элювиальные и делювиальные глыбы кварц-алунитовых и кварц-турмалиновых пород, прослеживающиеся на 400 м полосой северо-восточного простирания шириной 10-15 м. Глыбы располагаются на продолжении разлома того же направления. В протолюках кварц-алунитовых пород содержание алюнита колеблется от 1-2% до 45%. Химический анализ алюнита показал содержание  $\text{K}_2\text{O} - 1,75\%$ ,  $\text{Na}_2\text{O} - 1,42\%$ . Отношение  $\text{K}_2\text{O}:\text{Na}_2\text{O}$  составляет 1,23. В нескольких образцах кварц-алунитовых пород спектральным анализом установлены повышенные содержания мышьяка (0,5-1,0%) и свинца (0,02%).

По масштабам проявления алюнит, как полезное ископаемое, вряд ли имеет практическое значение. Однако присутствие вторичных кварцитов может свидетельствовать о возможности находки других полезных ископаемых (золото, киноварь, сера и др.), связанных с этими породами.

#### СТРОИТЕЛЬНЫЕ МАТЕРИАЛЫ

##### Извещенные породы

На территории листа развиты различные по составу и степени измененности эффузивные и интрузивные образования.

Гранит-порфиры и гранодиорит-порфиры слагают небольшие интрузии на юго-западе и в центральной части района. Это - светло-серые порфировые породы (вкрапленники плагиоклаза, биотита и роговой обманки достигают длины 1 см) с микрозернистой основной массой, характеризующиеся плитчатой, редко глыбовой отдельностью. Гранит-порфиры и гранодиорит-порфиры обладают массивной, либо флюидальной текстурой. Для последней характерна субпараллельная ориентировка вкрапленников и микролитов основной массы. Породы устойчивы против выветривания. Для добычи удобен участок г.Хэчэхэньмин, где гранодиорит-порфиры слагают интрузию площадью около 3 км<sup>2</sup> и обладают плитчатой отдельностью. Наряду с плитками (0,15x0,02 м) встреча-

ются и монолитные блоки до 0,5x2x2 м. Гранодиорит-порфиры могут использоваться как щебень или бут.

Диориты и кварцевые диориты слагают слабо обнаженные некки на юго-востоке района. Выходы этих пород имеют небольшие размеры и располагаются в труднодоступных районах. Диориты и кварцевые диориты представляют собой серые массивные неравномернозернистые мелкокристаллические породы с глыбовой, плитчатой и параллелепипедальной отдельностью.

Сиенито-диориты образуют пластовые интрузии, обнажающиеся в центральной части района. Мощность силлов изменяется от 10 до 250 м. По простиранию силлы прослеживаются до 13 км. Сиенито-диориты - зелено-серые и коричневые мелко- и среднезернистые, часто порфировидные породы, которые состоят преимущественно из плагиоклаза, калиевого полевого шпата, пироксена и роговой обманки, слабо изменены, о чем свидетельствует незначительное развитие вторичных минералов (кальцита, пренита, хлорита). В силлах наблюдались глыбовая и плитчатая отдельность. Обычно сиенито-диориты обнажаются на водораздельных гребнях, что неудобно для разработки. Лишь в верховьях р.Мал.Агвайи сиенито-диориты выходят в виде отвесной стенки высотой 120 м и длиной 1 км и доступны для добычи. Породы разбиты трещинами отдельности на монолитные глыбы до 2 м в поперечнике и могут быть использованы для получения бута и щебня.

Долериты, обнажающиеся в верховьях р.Бол.Гитканяу на площади около 10 км<sup>2</sup>, представляют собой светло-серые и серые неравномернозернистые полнокристаллические массивные породы с микрозернистой основной массой, состоящие из плагиоклаза, авгита, оливина и магнетита. Трещины пластовой отдельности разделяют массив долеритов на параллелепипеды толщиной от 20 до 50 см и площадью до 2x2 м. Иногда в параллелепипедах встречаются узкие (до 1 см) полоски пористых долеритов, ориентированные параллельно плоскостям пластовой отдельности. Долериты могут использоваться как бутовый камень и щебень. Запасы их значительны.

Лавы трахитового и трахиандезитового состава, развитые в центральной части района среди пирокластических образований воччинской свиты, обычно образуют маломощные (до 20 м) покровы. Это коричневые, серо-зеленые порфировые массивные породы с вариолитовой и интерсерпельной основной массой. Вкрапленники представлены в основном плагиоклазом и составляют до 30% от объема породы. Иногда трахиты и трахиандезиты содержат миндалины, выполненные кальцитом и кварцем и часто пронизаны тонкими прожилками этих же минералов. Отдельность трахитов и трахиандезитов плит-

чата и столбчатая. Эти породы не образуют значительных запасов и вряд ли пригодны в качестве строительных материалов.

Раннечетвертичные лавы среднего и основного состава имеют широкое развитие на севере и юго-востоке района, слагая горизонтально и полого залегающие покровы и потоки с плитчатой и глыбовой отдельностью мощностью от 3 до 100 м. Лавы темно-серые, се-рые и светло-серые порфировые (вкрапленников до 40%) породы со стекловатой, редко микрозернистой основной массой, массивной, пористой, иногда флюидальной текстурой. Породы устойчивы против выветривания, свежие, крепкие. Запасы их практически не ограничены. Наиболее благоприятные для разработки участки находятся у южной и северо-западной границ района, где у подножия склонов и по долинам рек обнажаются массивные андезиты и базальты с тонко-плитчатой (до 1-3 см) и мелкоглыбовой отдельностью. Такие породы могут использоваться в качестве щебня для строительства дорог и как наполнители бетона.

#### Глины

Глины ледникового происхождения обнаруживаются в северной части района. Глины серого цвета, пластиичные, вязкие с небольшим количеством песчаных частиц. Примесь валунов и галек полимиктового состава достигает 30-35%. В среднем течении р.Бол.Гитканяу глины слагают береговой обрыв высотой 32 м на протяжении около 1 км. По долинам рек Кенгувеем, Велькинвеем, Некювеем мощность глин колеблется от 3 до 20 м. Обнаружение глин возможно также в пределах аллювиальной равнины в южной части района. Глины, после обогащения, могут быть использованы для местного строительства.

#### Галечники

Галечники водно-ледникового происхождения, установленные на юге района, состоят из различно окатанных обломков эфузивов, интрузивных пород, яшм, песчаников. Размеры галек колеблются от 1 до 10 см в поперечнике. Промежутки между гальками выполнены серой, супесью и суглинком. Галечники пригодны для дорожного строительства, а после промывки могут быть использованы как наполнители бетона.

Современные галечники по долинам крупных рек состоят из обломков различного состава и содержат примесь валунного, песчаного и илистого материала. Запасы этих пород ограничены и лишь в долине р.Пахачи можно ожидать значительные их количества.

Галечники слагают крупные косы длиной до 2 км при ширине до

0,3 км. Мощность их достигает 2 м. Гальки имеют различную степень окатанности, и размеры их колеблются от 1 до 10 см в поперечнике. Среди обломочного материала присутствуют преимущественно эфузивы, туфы и яшмы. Галечники пригодны для дорожного строительства и в строительном деле.

#### Пески

Пески, встречающиеся совместно с галечниками по речным долинам, характеризуются неравномерной зернистостью, полимиктовым составом, всегда содержат примесь илистого материала. Обычно пески слагают небольшие линзы, мощностью до 1 м.

#### ПЕРСПЕКТИВЫ РАЙОНА

На территории листа Р-59-ХХУ проявления полезных ископаемых незначительны и не имеют первоочередного значения. К числу заслуживающих внимания следует отнести проявления ртути, установленные шлиховым опробованием в юго-восточной части района. Здесь среди туфов и лав алукской свиты, прорванных дайками андезитов и базальтов и неккими диоритами и кварцевых диоритов было выявлено 5 ореолов рассеяния киевари. Ореолы располагаются в зоне северо-восточного простирации, прослеживающейся на 20 км от выс. 705 м до верховьев р.Атайнауяям. Ширина зоны около 5 км. В ее пределах наблюдались мелкие нарушения, ориентированные, как и дайки, в северо-восточном и северо-западном направлениях, и выходы вторичных кварцитов. Для выявления коренных проявлений ртути в этой зоне рекомендуется проведение детальных поисковых работ в масштабе 1:50 000. На участках развития вторичных кварцитов возможно обнаружение и других полезных ископаемых (серы, золота), ассоциирующих со вторичными кварцитами, но для этого необходима постановка буровых работ.

Практически неисчерпаемыми являются запасы строительных материалов.

В отношении горючих полезных ископаемых территория листа представляет интерес в связи с общей перспективностью на нефть палеогеновых и неогеновых отложений Олекторского прогиба (В.Н.Верещагин, Г.К.Невский, 1959 г., В.А.Титов, 1959 г., Б.Х.Егиазаров, 1961, 1962 гг.). При проведении геологических съемок масштаба 1:200 000 на данной площади не удалось выявить проявлений битумов, хотя в 1958 г. И.Ф.Мороз отмечал в зоне разлома, вблизи устья р.Мал.Эмтеткониваям, наличие песчаников пахачинской свиты со слабым запахом нефти. Плохая обнаженность отложений ильинской

и пахачинской свиты и многочисленные разломы затрудняют расшифровку их структуры. Однако, ввиду того, что на юго-западе, за пределами изученного района, в этих породах были установлены признаки нефти и выявлены структуры, благоприятные для ее накопления, вероятно, верхнеолигоценовые и миоценовые отложения, развитые на изученной территории, следует рассматривать как перспективные на нефть.

## ПОДЗЕМНЫЕ ВОДЫ

Район расположен в зоне островной многолетней мерзлоты, которая охватывает преимущественно рыхлые четвертичные образования и в меньшей степени развита в более древних породах.

Из подземных вод в районе установлены надмерзлотные, залегающие в толще деятельного слоя и под руслами рек и ручьев, и трещинные воды, распространенные в коренных породах. Воды деятельного слоя на протяжении большей части года находятся в замерзшем состоянии и начинают оттаивать только в начале июня. Наибольшая глубина оттаивания приходится примерно на середину сентября. Мощность деятельного слоя меняется в зависимости от вещественного состава пород, положения в рельфе, экспозиции склона, характера растительного слоя и колеблется от 0,5 до 2 м. Питание горизонта надмерзлотных вод происходит преимущественно за счет инфильтрации атмосферных осадков и оттаивания мерзлых пород, а разгружается он многочисленными ручьями и реками. Иногда надмерзлотные воды выходят на поверхность у подножий склонов в виде временных источников с небольшим дебитом. Воды не напорные, так как нет выдержанных водоупорных горизонтов. Подземные воды, связанные с рыхлыми отложениями, относятся к пластовому типу.

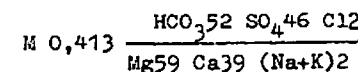
В коренных породах развиты трещинные и трещинно-поровые воды. Вулканогенно-кремнистые отложения вочвинской свиты и терригенные отложения ильинской, пахачинской и корфовской свит характеризуются сильной трещиноватостью, однако трещины в них обычно заполнены глинистым материалом и практически не доступны для циркуляции вод. Это обусловило преобладание поверхностного стока над подземным и соответственно слабую водообильность пород. Туфы, эфузивы, ямы, песчаники относятся к слабо водообильным, а алевролиты, аргиллиты, глинистые песчаники, конгломераты — к практически безводным. Области развития терригенных отложений ильинской и пахачинской свит отличаются малой скоростью поверхностного стока, что привело к их заболачиванию.

Массивные и пористые лавы и туфы апукской свиты обычно пронизаны многочисленными открытыми трещинами, по которым возможна

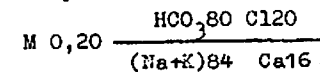
циркуляция вод. Сильная трещиноватость этих пород, а также горизонтальное залегание и развитый на них платообразный рельеф создают наиболее благоприятные условия для проникновения и последующего накопления атмосферных и талых вод в коренных породах. Это позволяет отнести туфы и лавы апукской свиты к водообильным и слабо водообильным.

Результатом деятельности современных восходящих источников, проникающих по трещинам, можно считать травертины и железистый цемент современных галечников и песков.

Травертины, обнажающиеся на склоне небольшого распадка в 1,6 км на юго-восток от г. Дальний Конус, залегают на современном дельвии, частично цементируя его. В травертинах присутствуют минерализованные растительные остатки плохой сохранности. Размеры выхода травертинов 2x2,5x20 м. Спектральным анализом в этих породах установлены незначительные содержания меди, никеля, марганца и свинца. По всей вероятности травертины отлагались из углекислого источника, который функционировал в зоне тектонического нарушения. По данным химического анализа воды из ручья, протекающего вблизи выхода травертинов, относятся к гидрокарбонатно-сульфатно-кальциево-магниевому типу:



Галечники и пески, сцементированные бурьми гидроокислами железа, представлены двумя небольшими выходами (2x10 и 0,5x1 м). Один находится в русле левого притока р. Мал. Ольховая (0,6 км от его устья), а второй на правом берегу р. Агваем (15 км выше места слияния ее с р. Мал. Агваем). По всей вероятности, гидроокислы железа выносились водами по тектоническим зонам. Возможно, что их появление на первом участке связано с деятельностью пост vulkanических гидротерм, так как выход располагается в поле развития эфузивов апукской свиты. Химический анализ воды из ручья, протекающего вблизи этого выхода, показал, что вода является пресной гидрокарбонатно-натриевой.



Рыхлые четвертичные отложения являются пестрыми по степени водообильности — от водообильных до практически безводных. В водно-ледниковых и ледниковых образованиях широко развита многолетняя мерзлота. В верховьях р. Ваювай в глинах, вблизи поверхности, наблюдались прослои льда. В современных аллювиальных отложениях пойменных и надпойменных террас крупных рек распространены пластовые подземные воды. В пойменных террасах уровень грунтовых вод

фиксируется на глубине от 0,3 до 2 м. Дельвиально-проливиальные и элювиально-дельвиальные образования у подножия склонов обычно сильно насыщены водой, а в верхних частях склонов лишь слабо обводнены.

Озера на территории района имеют небольшие размеры. Площадь водного зеркала составляет 0,04 км<sup>2</sup>, редко до 0,36 км<sup>2</sup>. В озерах речных пойм вода застойная, имеет неприятный запах и вкус, обладает темно-бурым цветом. В озерах ледникового происхождения вода обычно бесцветная и без запаха, но иногда светло-бурового цвета, со слабым гнилостным запахом разлагающихся растительных остатков. При высыхании этих озер на дне образуются "каменные кольца", которые представляют собой слегка выпуклые участки серой вязкой глинистой массы, окруженные бордюром из камней. Это свидетельствует о многократном замерзании и оттаивании пород. Озера, встречающиеся в горах среди отложений апукской свиты, обычно отличаются прозрачной водой без запаха и вкуса, так как питаются талыми водами снежников. В зимний период большинство озер промерзает до дна.

Надмерзлотные подземные воды формируются в условиях свободного водообмена, обычно пресные, прозрачные, без запаха, пригодны для питья и технических целей. В связи с малой протяженностью путей инфильтрации воды не минерализованы.

По долинам крупных рек и их притокам повсеместно развиты почвенные воды, которые ввиду наличия многолетней мерзлоты, препятствующей просачиванию атмосферных осадков, способствуют заболачиванию высокой поймы и надпойменных террас. Почвенные воды имеют светло-бурый цвет и иногда слабый гнилостный запах.

По результатам химического анализа поверхностные воды из верховьев правого притока р.Илквайям, где обнажаются интрузии диоритов и гидротермально-измененные породы, являются пресными гидрокарбонатно-магниево-натриево-кальциевыми с сухим остатком 0,09 г/л.

#### Химический состав воды:

M 0,88	HCO <sub>3</sub> 73	SO <sub>4</sub> 27
	Ca43	Mg30 (Na+K)27

Таким образом, все проанализированные воды оказались пресными. Изученная территория вполне обеспечена водой рек и озер, пригодной для питья и технических целей. Однако следует учитывать, что в зимний период поверхностный сток сохраняется только в наиболее крупных реках.

## ЛИТЕРАТУРА

### Опубликованная

Верещагин В.Н., Невский Г.К. Перспективы нефтегазоносности Корякско-Анадырского района Охотской нефтегазоносной области. Тр. ВНИИ-1, г.Магадан, 1959.

Дитмар А.В. Объяснительная записка к геологической карте и карте полезных ископаемых масштаба 1:200 000 (лист Р-59-ХХП). Готовится к печати.

Егизаров Б.Х. Государственная геологическая карта СССР масштаба 1:1 000 000. Лист Р-59 (Олюторское). Объяснительная записка. Изд-во "Недра", М., 1964.

Егизаров Б.Х., Криштофович Л.В., Пичугина Г.К. Палеогеновые и неогеновые отложения восточной части Олюторского прогиба. Сб. "Геология Корякского нагорья" под ред.Б.Х.Егизарова. Госнаучтехиздат, М., 1963.

Егизаров Б.Х. и др. Геология и полезные ископаемые Корякского нагорья. Тр.НИИГА, т.148, изд-во "Недра", Л., 1965.

Косько М.К., Радченко Н.С. О трахиандезитовой-сиенито-диоритовой формации Олюторского прогиба (Корякское нагорье). ДАН СССР, т.163, № 5, 1965.

### Фондовая<sup>x/</sup>

Беляев И.Б. и др. Отчет о работе Олюторской аэромагнитной партии за 1963 г. Фонды СВГУ, 1964.

Закржевский Г.А., Дегтяренко Ю.П., Коган А.Я. Геологическое строение и полезные ископаемые бассейна реки Апуквайям (Центральная часть Корякского хребта). 1957.

Закржевский Г.А., Губанов И.В., Устинов Н.В. Геологическое строение и полезные ископаемые северо-восточной части листа Р-59-ХХI (бассейн р.Яльвайям). 1960.

Закржевский Г.А. и др. Геологическое строение и полезные ископаемые северной части листа Р-59-ХХI (Корякский хребет). 1961.

<sup>x/</sup> Хранится в фондах НИИГА.

## Приложение I

СПИСОК  
МАТЕРИАЛОВ, ИСПОЛЬЗОВАННЫХ ДЛЯ СОСТАВЛЕНИЯ КАРТЫ  
ПОЛЕЗНЫХ ИСКОПАЕМЫХ

№ п/п	Фамилия и инициалы автора	Название работы	Год со- ставле- ния или издания	Местона- хождение материала <sup>x/</sup> , его фондо- вый номер или место издания
I	Косько М.К., Радченко Н.С. Савельев Н.А.	Геологическое строение и полезные ископаемые цент- ральной части листа Р-59- XXVI (Корякское нагорье)	1963	№ 3836
2	Мороз И.Ф., Мороз Т.Ф.	Отчет о работе Пахачинской геолого-съемочной партии	1959	№ 3304
3	Устинов Н.В., Губанов И.В., Поляков М.М., Матвеев В.В.	Геологическое строение и полезные ископаемые пра- вобережья р.Майнылыгрын (северная часть листа Р-59-XXVI, Корякское нагорье)	1963	№ 3838
4	Устинов Н.В., Губанов И.В., Поляков М.М., Матвеев В.В.	Геологическое строение и полезные ископаемые райо- на р.Агвам (Корякское нагорье)	1964	№ 3969

<sup>x/</sup> Материалы хранятся в фондах НИИГА.

Закржевский Г.А. и др. Геологическое строение и полезные ископаемые южной части листа Р-59-XXI и юго-западной части листа Р-59-XXII (Апукский хребет, Корякское нагорье). 1962.

Косько М.К., Радченко Н.С., Савельев Н.А. Геологическое строение и полезные ископаемые центральной части листа Р-59-XXVI (Корякское нагорье). 1963.

Майков Л.А. и др. Отчет о работе Северо-Корякской аэромагнитной партии за 1959 г. Фонды СВГУ, 1960.

Мороз И.Ф., Мороз Т.Ф. Отчет о работе Пахачинской геолого-съемочной партии за 1958 г., 1959.

Пагольский Н.И., Косько М.К., Ермаков Б.В. Геологическое строение и полезные ископаемые западной части листа Р-59-XXI (Правобережье среднего течения р.Апуквам). 1960.

Погожев А.Г., Садриев А.М. Отчет о работе Верхне-Пахачинской геолого-съемочной партии за 1956 г. 1958.

Устинов Н.В. и др. Геологическое строение и полезные ископаемые правобережья р.Майнылыгрын (северная часть листа Р-59-XXVI, Корякское нагорье). 1963.

Устинов Н.В. и др. Геологическое строение и полезные ископаемые района р.Агвам (Корякское нагорье). 1964.

Устинов Н.В. Полевой отчет о редакционно-увязочных маршрутах, проведенных летом 1964 г. на территории междууречья Пахачи и Алуки (лист Р-59-XXVI). 1964.

Ярмолюк В.А. Геологические исследования в Олюторском районе Камчатской области в 1952 г. (Отчет объединенной группы трех геологосъемочных партий № 20, № 21 и № 23 экспедиции № 3 НГУ). 1953.

Приложение 2

СПИСОК  
ПРОЯВЛЕНИЙ ПОЛЕЗНЫХ ИСКОПАЕМЫХ, ПОКАЗАННЫХ НА ЛИСТЕ  
Р-59-ХХУ1 КАРТЫ ПОЛЕЗНЫХ ИСКОПАЕМЫХ

№ по карте	Индекс клетки по карте	Название (место-нахождение) проявления и вид полезного ископаемого	Характеристика проявления	№ использо-ванного материала по списку									
					1	2	3	4	5				
ГОРЮЧИЕ ИСКОПАЕМЫЕ													
Бурый уголь													
4	П-3	р.Бол.Гитканяу	Линза, мощность 0,5 м	3									
3	П-1	р.Майнылыгортин	2 прослоя, мощностью 0,3 и 0,4 м	3									
2	I-4	р.Майнылыгортин	Линза, мощность 0,2-0,5 м	I, 2									
МЕТАЛЛИЧЕСКИЕ ИСКОПАЕМЫЕ													
Медь													
8	IY-I	гора Дальний Конус	Прожилки халькопирита, борнита и куприта, примазки азурита в элювиальных плитках миоценовых гранодиорит-порфиров	4									
5	Ш-3	р.Чевынзыем	Мелкая вкрапленность и прожилки сульфидов в зоне дробления туфов вочвинской свиты	4									
6	Ш-3	Там же	Гнезда малахита в элювиальных глыбах палеогеновых сиенито-диоритов	4									

1	2	3	4	5
II	IY-3	р.Агваям	Ртуть	
			Ореол рассеяния киновари (20 шлиховых проб с единичными зернами)	4
7	Ш-4	Истоки р.Атай-науваям	Ореол рассеяния киновари (7 шлиховых проб с единичными зернами)	4
I	I-3	р.Бол.Гитканяу	Ореол рассеяния киновари (18 шлиховых проб с единичными зернами)	3
I3	IY-3	р.Бол.Ольховаям	Ореол рассеяния киновари (5 шлиховых проб с единичными зернами)	4
I5	IY-4	Верховья левого притока р.Бол. Ольховаям и р.Илкваям	Ореол рассеяния киновари (83 шлиховых проб с единичными зернами)	4
IO	IY-3	Левый приток р.Мал.Агваям	Ореол рассеяния киновари (10 шлиховых проб с единичными зернами)	4
I6	IY-4	р.Мал.Ольховаям	Ореол рассеяния киновари (7 шлиховых проб с единичными зернами)	4
9	IY-I	гора Хэчэхэньмин	Ореол рассеяния киновари (17 шлиховых проб с единичными зернами)	4
I7	IY-4	Высота 463 м	Ореол рассеяния киновари (7 шлиховых проб с единичными зернами)	4
НЕМЕТАЛЛИЧЕСКИЕ ИСКОПАЕМЫЕ				
Алунит				
I4	IY-4	Верховья р.Илкваям	Элювиальные развалы глыб кварц-алунитовых пород, вытянутые полосой на протяжении 400 м при ширине 15 м	4
I2	IY-3	Высота 705 м	Выход вторичных кварцитов на площади 0,5 км <sup>2</sup>	4

## СОДЕРЖАНИЕ

	Стр.
Введение . . . . .	3
Стратиграфия . . . . .	9
Интузивные образования . . . . .	33
Тектоника . . . . .	50
Геоморфология . . . . .	59
Полезные ископаемые . . . . .	64
Подземные воды . . . . .	74
Литература . . . . .	77
Приложения . . . . .	79

Редактор В.С.Краснова  
Корректор М.Г.Гулина

---

Сдано в печать 15/X 1971 г. Подписано к печати 23/III 1972 г.  
Тираж 100 экз. Формат 60x90/16 Печ.л.5,25 Заказ 891с

---

Копировально-картографическое предприятие  
Всесоюзного геологического фонда